

# 8. Bildsignale

Speicherung + Verarbeitung im Digitalrechner erfordern:

- Diskretisierung der Werte  $g$
- Diskretisierung der Orte  $x$
- endliche Beschränkung des Ortsbereiches
- endliche Beschränkung der Werte  $g$

Vereinfachung: Betrachtung von Signalen  $g(x) : \mathbb{R} \rightarrow \mathbb{R}$

# 8.1 Mathematische Beschreibung von Bildsignalen

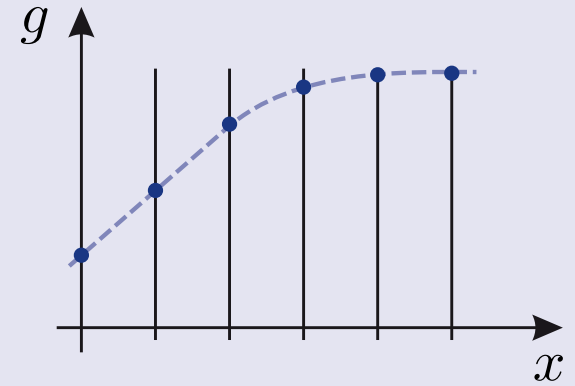
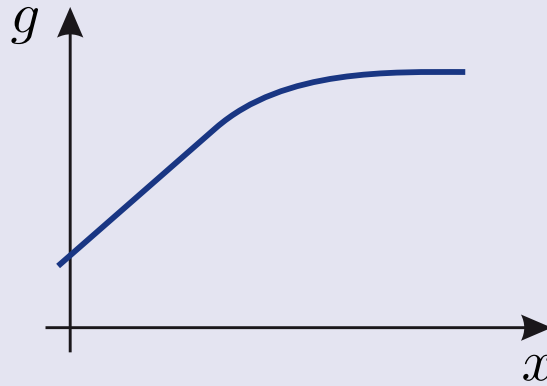
Wert  $g$

Ort  $x$

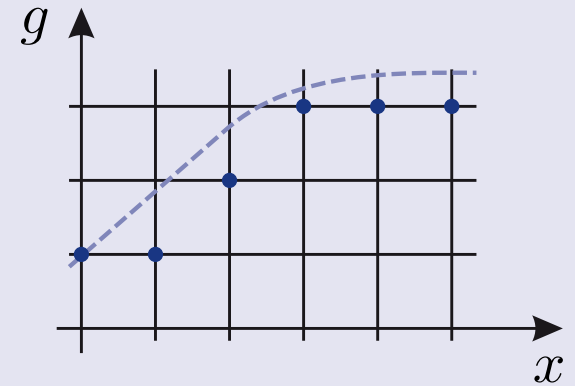
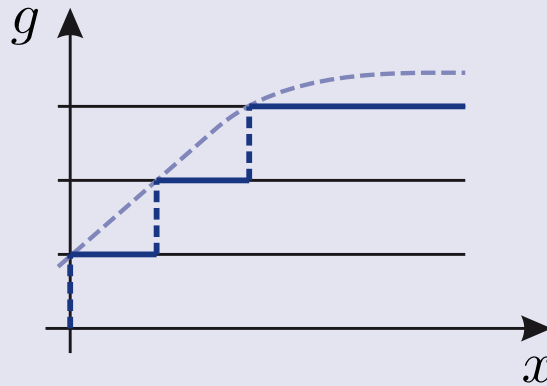
kontinuierlich

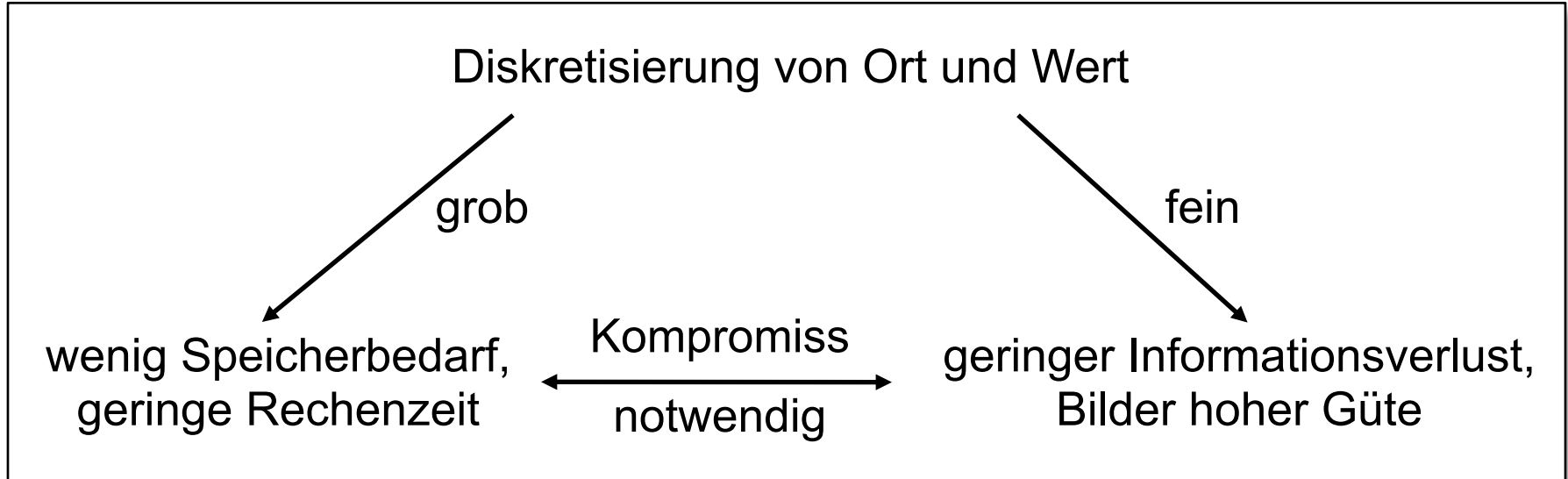
diskret

kontinuierlich



diskret





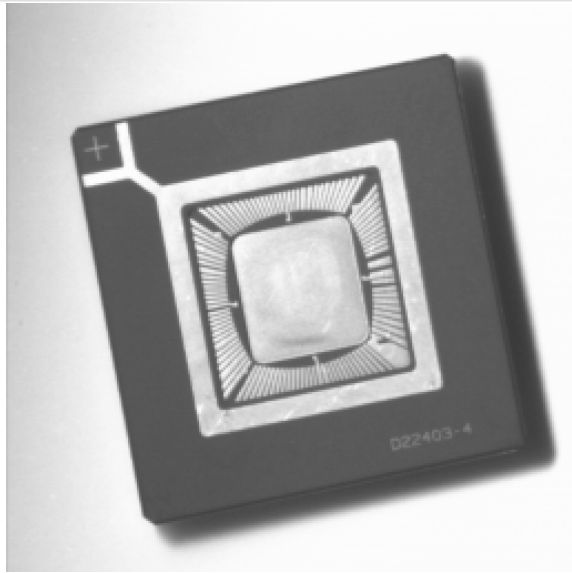
**Wie grob darf man Ort und Wert diskretisieren, um wesentliche Signalinhalte nicht zu verlieren?**

**Qualitative, subjektive Antwort:**

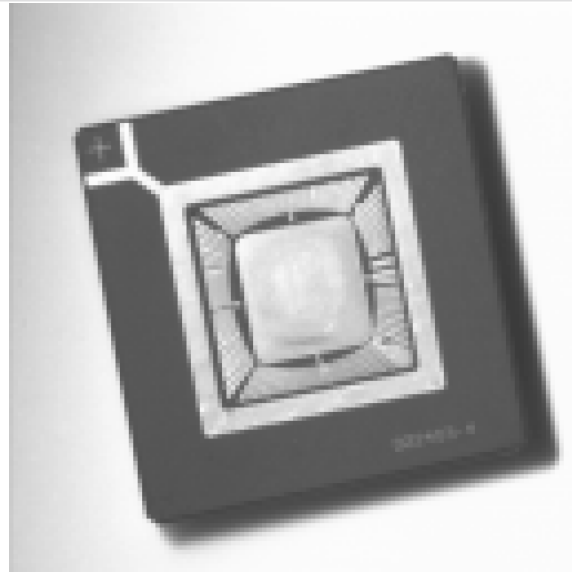
Für zufriedenstellenden visuellen Eindruck erfordern:

- detailreiche Bilder eine feine Ortsdiskretisierung
- detailarme Bilder eine feine Wertdiskretisierung (Scheinkanten)

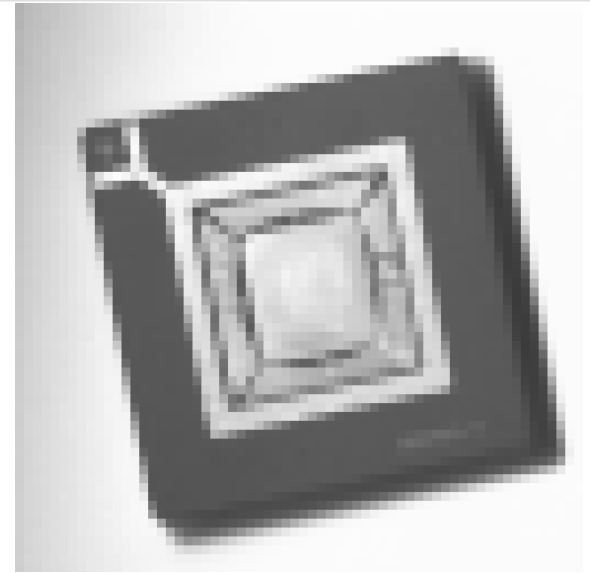
# 8.1 Mathematische Beschreibung von Bildsignalen



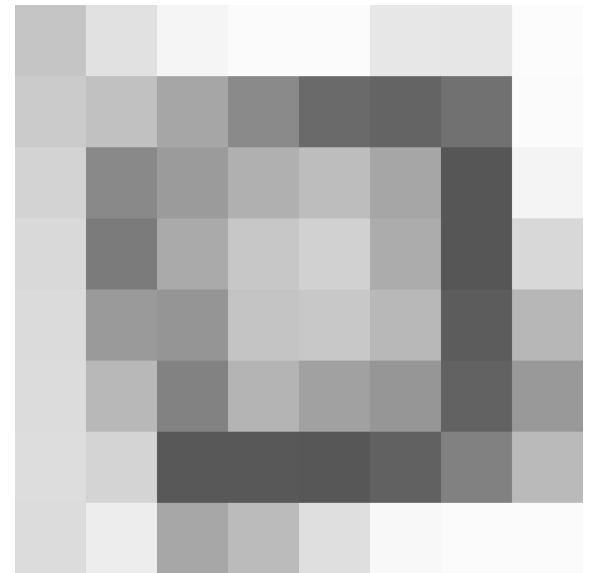
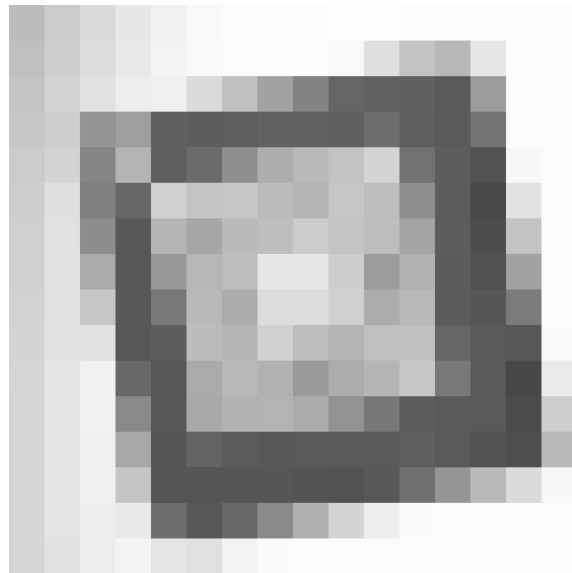
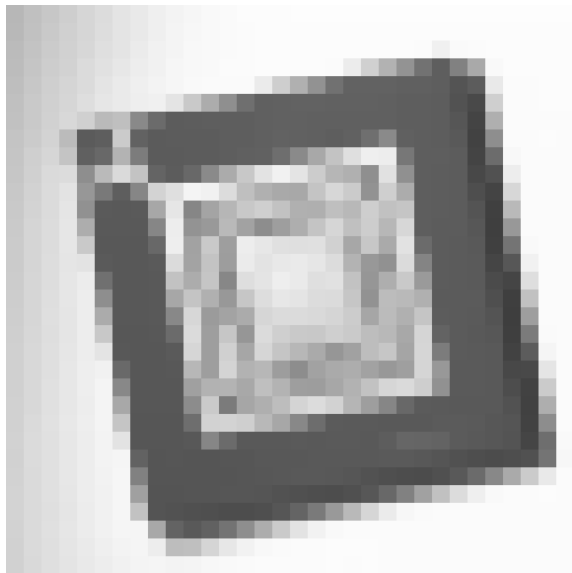
↑ 256×256 ↓ 32×32



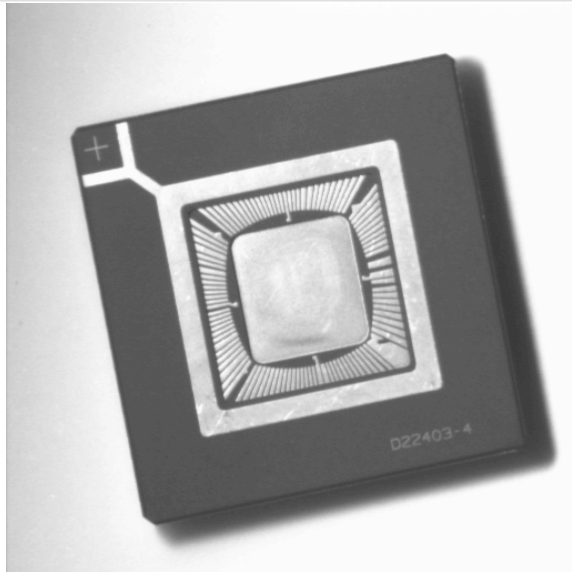
↑ 128×128 ↓ 16×16



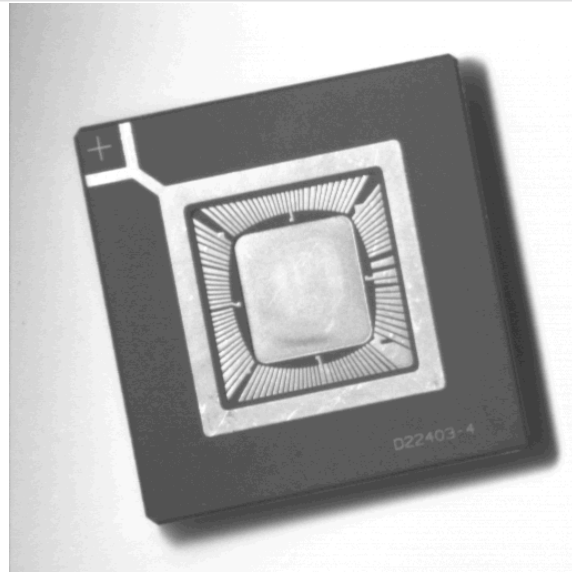
↑ 64×64 ↓ 8×8



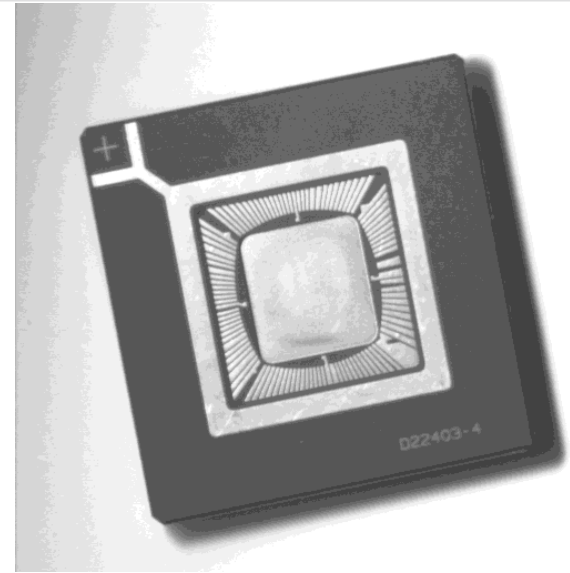
# 8.1 Mathematische Beschreibung von Bildsignalen



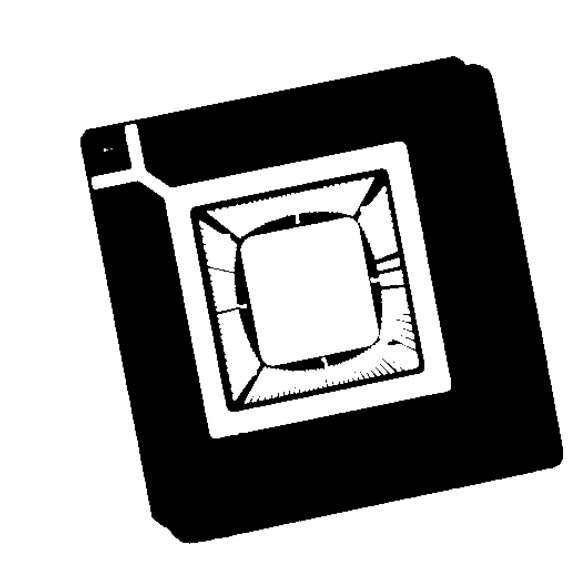
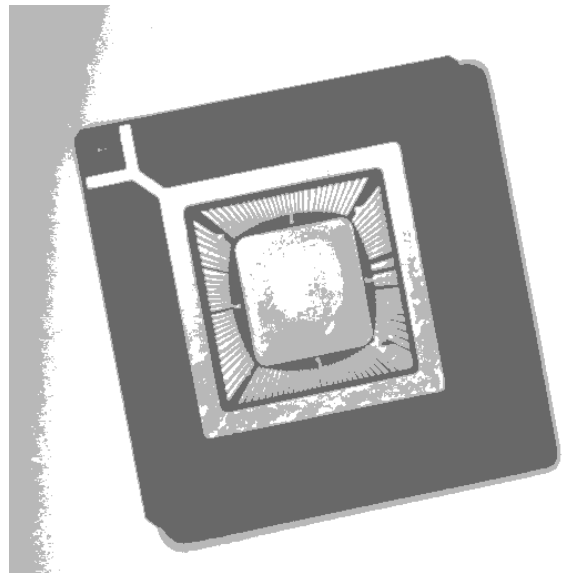
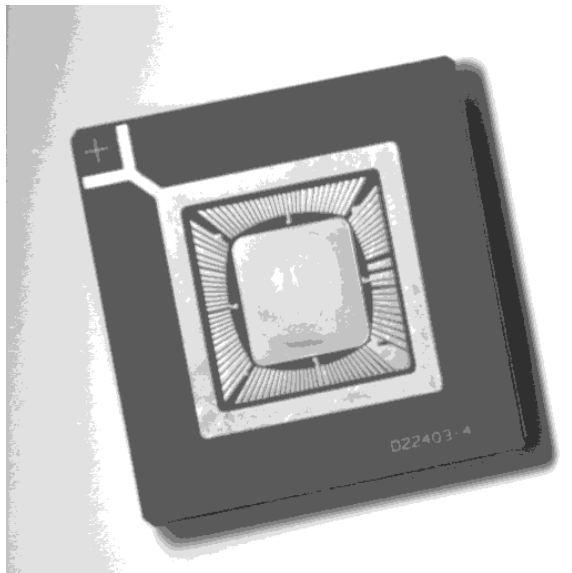
↑ 64 Werte ↓ 8 Werte



↑ 32 Werte ↓ 4 Werte



↑ 16 Werte ↓ 2 Werte



## 8.3.1 Definition (eindimensional)

■ Hintransformation:

$$G(f) := \int_{-\infty}^{\infty} g(x) e^{-j2\pi f x} dx =: \mathcal{F}\{g(x)\} \quad (*)$$

■ Rücktransformation:

$$g(x) = \int_{-\infty}^{\infty} G(f) e^{j2\pi f x} df = \mathcal{F}^{-1}\{G(f)\} \quad (**)$$

$$g(x), G(f) : \mathbb{R} \rightarrow \mathbb{C}$$

$f$  ist die mit  $x$  korrespondierende **Ortsfrequenz**,  $[f] = [x]^{-1}$

( $\omega = 2\pi f$ : zugehörige Kreisfrequenz)

Bedeutung von (\*\*):  $g(x)$  wird aus **überabzählbar unendlich vielen komplexen harmonischen Schwingungen**, die mit  $G(f)$  gewichtet werden, additiv synthetisiert

### Qualitative Aussage:

Feine Details von $g(x)$	$\longleftrightarrow$	hochfrequente Anteile von $G(f)$
Langsam mit $x$ veränderliche Anteile von $g(x)$	$\longleftrightarrow$	niederfrequente Anteile von $G(f)$

Die Fourier-Transformation ist eine **globale** Transformation.  
Für jede Frequenz hängt  $G(f)$  vom gesamten Verlauf von  $g(x)$  ab.

$$G(\mathbf{f}) = \mathcal{F}\{g(\mathbf{x})\} := \iint_{-\infty}^{\infty} g(\mathbf{x}) e^{-j2\pi\mathbf{f}^T \mathbf{x}} d\mathbf{x} = \int_{-\infty}^{\infty} \left( \int_{-\infty}^{\infty} g(\mathbf{x}) e^{-j2\pi f_x x} dx \right) e^{-j2\pi f_y y} dy$$

Separabilität

$$\mathbf{x} = (x, y)^T, \quad \mathbf{f} = (f_x, f_y)^T$$

$$f(\mathbf{x}) = \mathcal{F}^{-1}\{G(\mathbf{f})\} = \iint_{-\infty}^{\infty} G(\mathbf{f}) e^{j2\pi\mathbf{f}^T \mathbf{x}} d\mathbf{f}$$

vektorielle Formulierung gilt auch im  $N$ -dimensionalen Fall

## Eigenschaften der 2D-Fourier-Transformation

### ■ Separationssatz:

$$g(\mathbf{x}) = g_1(x) \cdot g_2(y) \quad \Leftrightarrow \quad G_1(f_x) \cdot G_2(f_y)$$

Jeder Faktor wird für sich eindimensional transformiert

**Bsp.:**  $g(\mathbf{x}) = \delta(x) \cos(2\pi f_{y_0} y) \iff 1(f_x) \frac{1}{2} (\delta(f_y + f_{y_0}) + \delta(f_y - f_{y_0}))$

### ■ Lineare Koordinatentransformation:

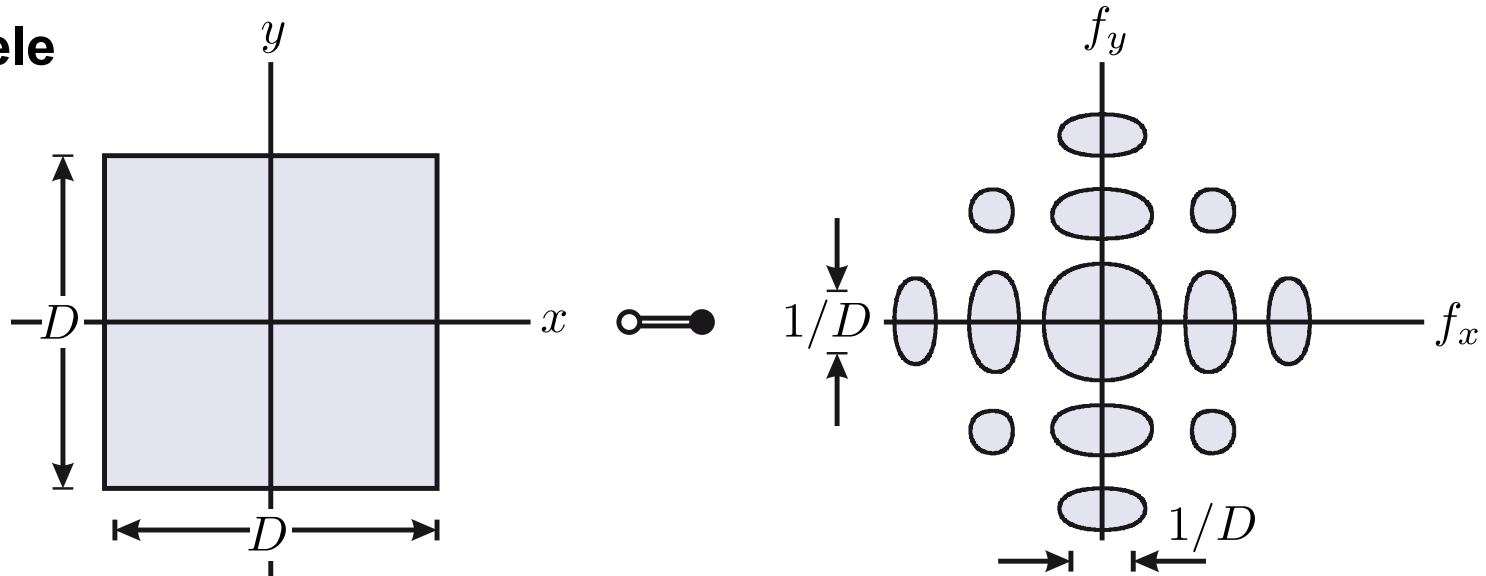
Korrelat der eindimensionalen (Orts-)Skalierung im Mehrdimensionalen

$$\xi = \mathbf{A}\mathbf{x}, \quad \det \mathbf{A} \neq 0$$

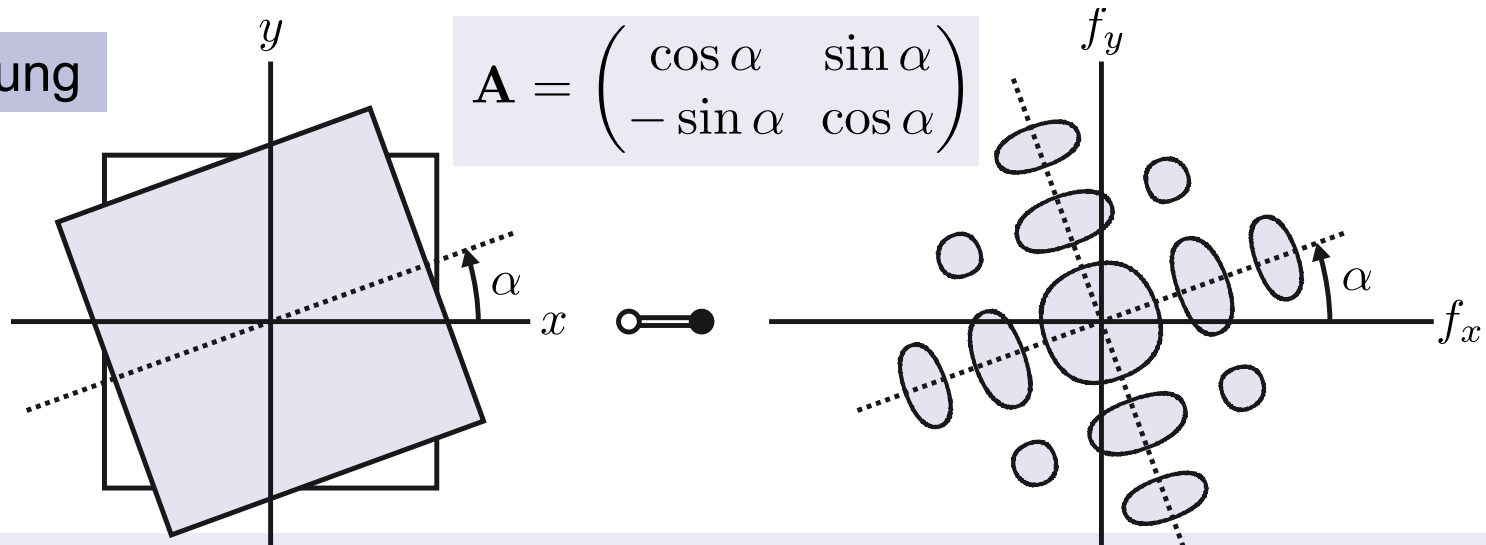
$\mathbf{A}$  : nichtsinguläre  $2 \times 2$ -Matrix

$$\begin{aligned} \mathcal{F}\{g(\mathbf{A}\mathbf{x})\} &= \iint_{-\infty}^{\infty} g(\mathbf{A}\mathbf{x}) e^{-j2\pi\mathbf{f}^T\mathbf{x}} d\mathbf{x} & d\xi &= |\det \mathbf{A}| \cdot d\mathbf{x} \\ &= |\det \mathbf{A}|^{-1} \iint_{-\infty}^{\infty} g(\xi) e^{-j2\pi((\mathbf{A}^{-1})^T\mathbf{f})^T\xi} d\xi \\ &= |\det \mathbf{A}|^{-1} G((\mathbf{A}^{-1})^T\mathbf{f}) \end{aligned}$$

## Beispiele



## Drehung

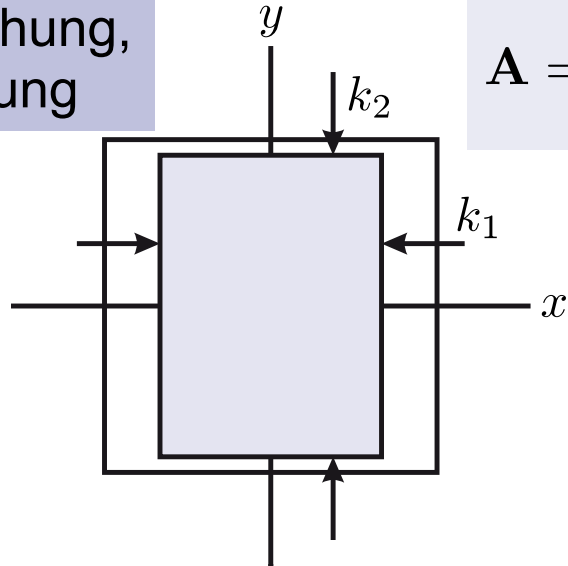


$$\mathbf{A} = \begin{pmatrix} \cos \alpha & \sin \alpha \\ -\sin \alpha & \cos \alpha \end{pmatrix}$$

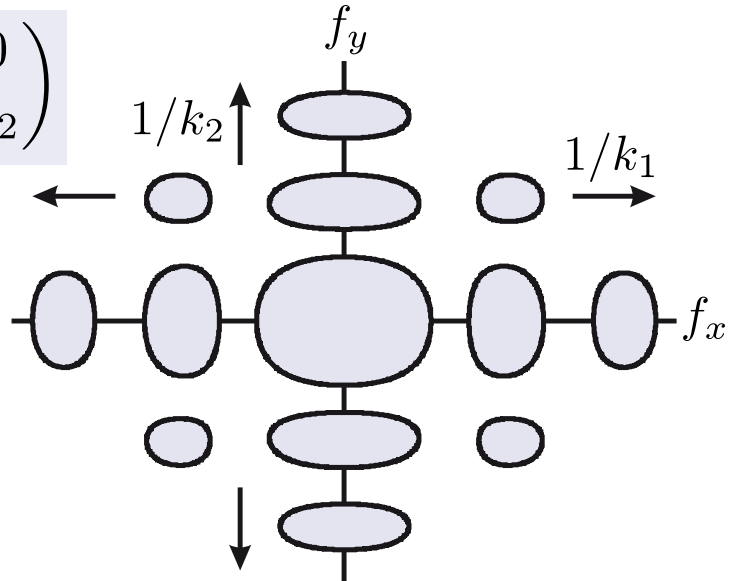
⇒ rotationssymmetrische Signale haben rotationssymmetrische Spektren

# 8.3.4 Die zweidimensionale Fourier-Transformation

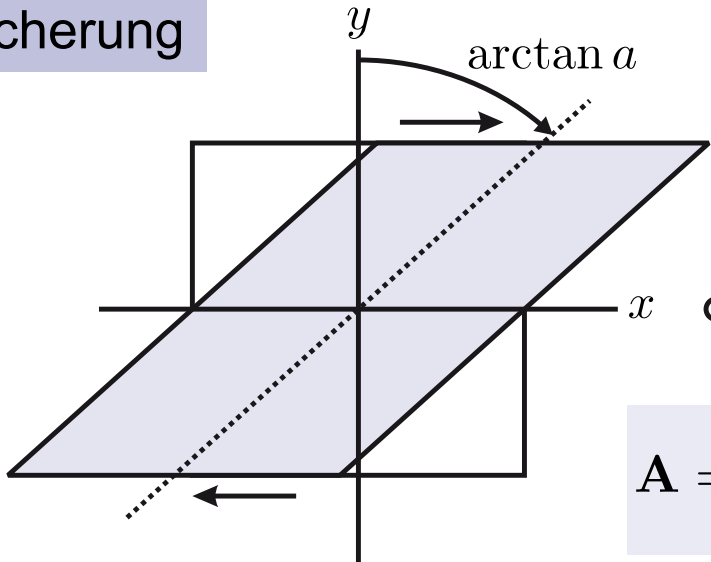
Stauchung,  
Dehnung



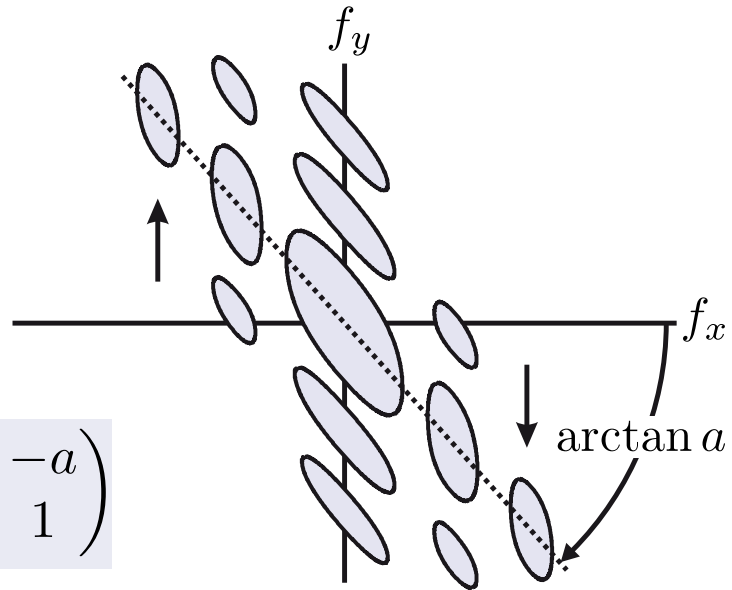
$$\mathbf{A} = \begin{pmatrix} k_1 & 0 \\ 0 & k_2 \end{pmatrix}$$



Scherung



$$\mathbf{A} = \begin{pmatrix} 1 & -a \\ 0 & 1 \end{pmatrix}$$



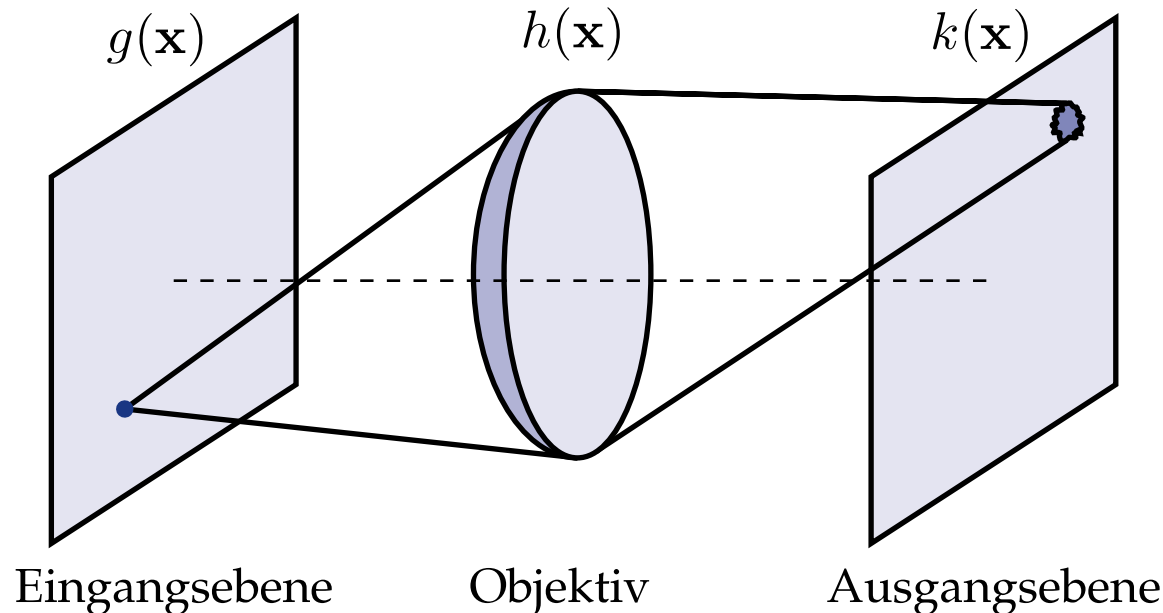
## Faltungssatz:

$$k(\mathbf{x}) = g(\mathbf{x}) ** h(\mathbf{x}) = \iint_{-\infty}^{\infty} g(\alpha, \beta) h(x - \alpha, y - \beta) d\alpha d\beta$$



$$K(\mathbf{f}) = G(\mathbf{f}) \cdot H(\mathbf{f})$$

Bsp.: Abbildung mit einer Linse  $\approx$  **LSI-System** (linear verschiebungsinvariant)



### Systemtheoretische Beschreibung des Abbildungsvorganges

$h(\mathbf{x})$  = Impulsantwort = Antwort des Abbildungssystems auf  $\delta(\mathbf{x})$



„**Punktverschmierungsfunktion**“ (PSF)

→ Definition

$H(\mathbf{f})$  = Übertragungsfunktion des Abbildungssystems

„**optische Übertragungsfunktion**“ (OTF)

- Diese Beschreibung umfasst auch den Fall der unscharfen Abbildung:

$$h(\mathbf{x}) = k \operatorname{rect}\left(\frac{\|\mathbf{x}\|}{\varepsilon}\right)$$



$$H(\mathbf{f}) = k \frac{\varepsilon}{2} \cdot \frac{J_1(\pi\varepsilon\|\mathbf{f}\|)}{\|\mathbf{f}\|}$$

$$\operatorname{rect}\left(\frac{x}{\varepsilon}\right) := \begin{cases} 1 & \text{für } |x| < \frac{\varepsilon}{2} \\ 0 & \text{sonst} \end{cases}$$

„Messerfunktion“:

$$\delta(y) = \delta(\mathbf{x}^T \mathbf{e}_y) = 1(x) \delta(y) \quad \Leftrightarrow \quad \delta(f_x) 1(f_y) = \delta(f_x) = \delta(\mathbf{f}^T \mathbf{e}_x)$$

■ Anschaulich:

$$\delta(y) = \begin{cases} \infty & \text{für } y = 0, \text{ d. h. auf der } x\text{-Achse} \\ 0 & \text{sonst} \end{cases}$$

**Zweidimensionaler  $\delta$ -Impuls:**

■ Definition:

$$\iint_{-\infty}^{\infty} \delta(\mathbf{x} - \mathbf{x}_0) g(\mathbf{x}) d\mathbf{x} = g(\mathbf{x}_0)$$

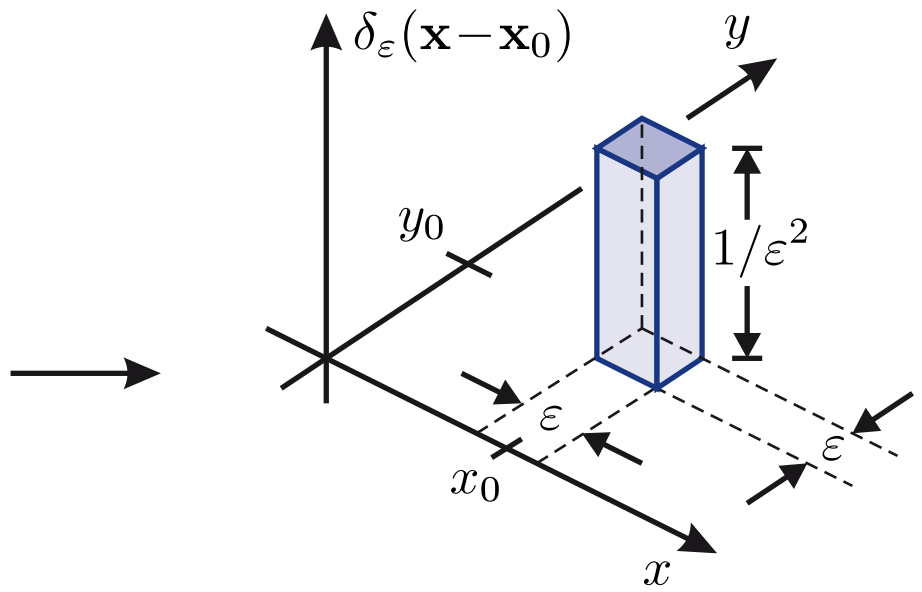
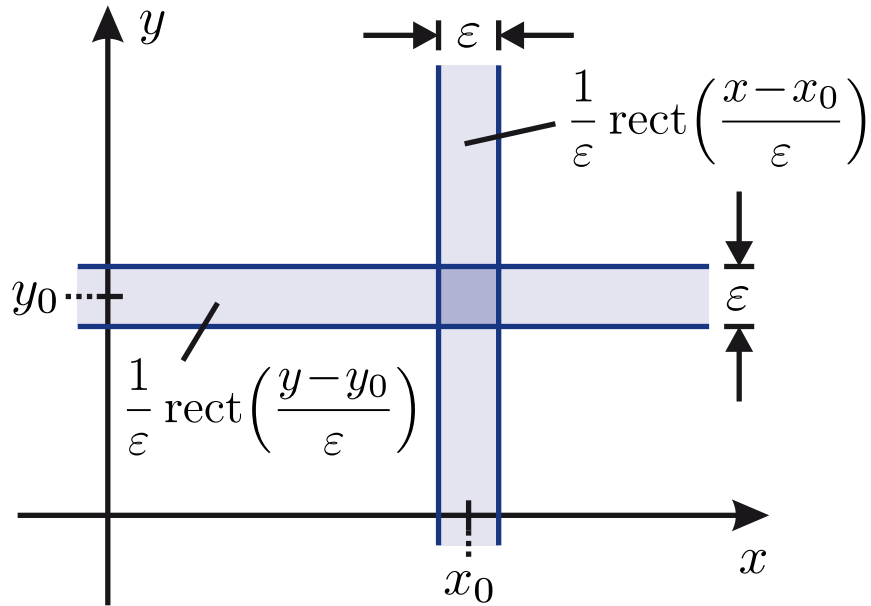
$g(\mathbf{x})$  stetig in  $\mathbf{x}_0$

■ Approximation:

$$\delta_\varepsilon(\mathbf{x} - \mathbf{x}_0) = \frac{1}{\varepsilon^2} \text{rect}\left(\frac{x - x_0}{\varepsilon}\right) \text{rect}\left(\frac{y - y_0}{\varepsilon}\right) \xrightarrow{\varepsilon \rightarrow 0} \delta(\mathbf{x} - \mathbf{x}_0)$$

Produkt der Approximationen  $\delta_\varepsilon(x)$  und  $\delta_\varepsilon(y)$

# 8.3.5 Delta-Funktionen im Zweidimensionalen



■ Es gilt:

$$\delta(\mathbf{x}) = \delta(x) \delta(y) \quad \iint_{-\infty}^{\infty} \delta(\mathbf{x}) \, d\mathbf{x} = 1$$

$$g(\mathbf{x}) ** \delta(\mathbf{x} - \mathbf{x}_0) = g(\mathbf{x} - \mathbf{x}_0)$$

■ Anschaulich:

$$\delta(\mathbf{x}) = \begin{cases} \infty & \text{für } \mathbf{x} = \mathbf{0} \\ 0 & \text{sonst} \end{cases}$$

### Mathematische Beschreibung

- Multiplikation des Bildes  $g(\mathbf{x})$  mit einer 2D-Impulsfolge (Abtastraster)  $r(\mathbf{x})$ :

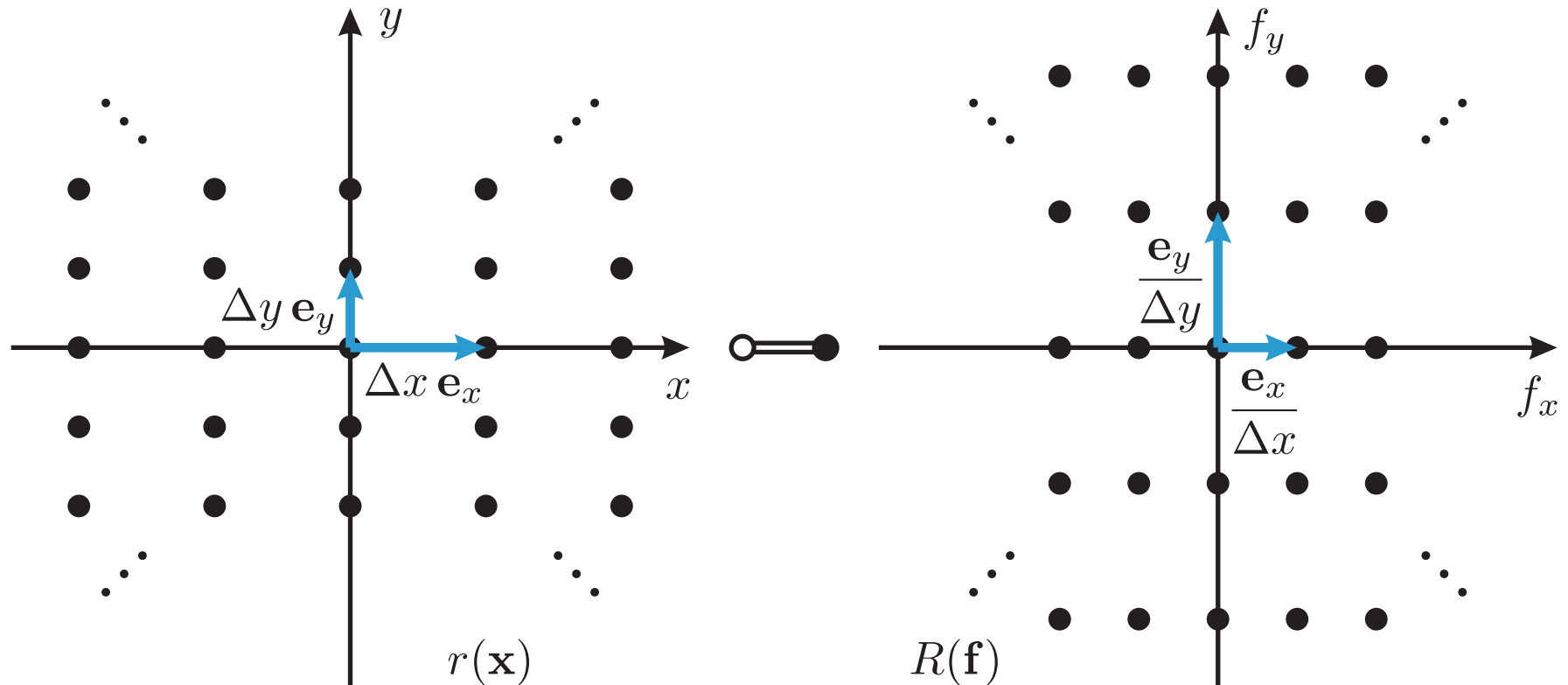
$$r(\mathbf{x}) = \sum_{m=-\infty}^{\infty} \sum_{n=-\infty}^{\infty} \delta(\mathbf{x} - m\Delta x \mathbf{e}_x - n\Delta y \mathbf{e}_y) = \left[ \sum_{m=-\infty}^{\infty} \delta(x - m\Delta x) \right] \left[ \sum_{n=-\infty}^{\infty} \delta(y - n\Delta y) \right]$$



Separationssatz: jeden der beiden Faktoren eindimensional Fourier-transformieren

$$\begin{aligned} R(\mathbf{f}) &= \left[ \frac{1}{\Delta x} \sum_{k=-\infty}^{\infty} \delta\left(f_x - \frac{k}{\Delta x}\right) \right] \left[ \frac{1}{\Delta y} \sum_{l=-\infty}^{\infty} \delta\left(f_y - \frac{l}{\Delta y}\right) \right] \\ &= \frac{1}{\Delta x \Delta y} \sum_{k=-\infty}^{\infty} \sum_{l=-\infty}^{\infty} \delta\left(\mathbf{f} - \frac{k}{\Delta x} \mathbf{e}_x - \frac{l}{\Delta y} \mathbf{e}_y\right) \end{aligned}$$

## 8.3.6 Abtastung zweidimensionaler Signale



- Abtastraster sind durch die „Gittervektoren“  $\Delta x \mathbf{e}_x$  und  $\Delta y \mathbf{e}_y$  (oder durch  $\mathbf{e}_x/\Delta x$ ,  $\mathbf{e}_y/\Delta y$ ) eindeutig festgelegt
- Bis auf eine Translation lässt sich jedes regelmäßige Abtastraster durch lin. Koordinatentransformation aus dem achsparallelen Raster erzeugen

# 8.3.6 Abtastung zweidimensionaler Signale

$$\tilde{r}(\mathbf{x}) = \sum_{m,n} \delta(\mathbf{A}\mathbf{x} - m\Delta x \mathbf{e}_x - n\Delta y \mathbf{e}_y) \quad \circ \text{---} \bullet \quad \propto \sum_{k,l} \delta\left((\mathbf{A}^{-1})^T \mathbf{f} - k \frac{\mathbf{e}_x}{\Delta x} - l \frac{\mathbf{e}_y}{\Delta y}\right)$$

$\det \mathbf{A} \neq 0$

Im Folgenden interessieren nur noch die Lokationen der  $\delta$ -Impulse. Vorfaktoren werden unterdrückt.

$$\tilde{r}(\mathbf{x}) = \sum_{m,n} \delta(\mathbf{A}(\mathbf{x} - m \underbrace{\Delta x \mathbf{A}^{-1} \mathbf{e}_x}_{=: \mathbf{b}_1} - n \underbrace{\Delta y \mathbf{A}^{-1} \mathbf{e}_y}_{=: \mathbf{b}_2}))$$

$$= \sum_{k,l} \delta\left((\mathbf{A}^{-1})^T \left(\mathbf{f} - k \underbrace{\mathbf{A}^T \frac{\mathbf{e}_x}{\Delta x}}_{=: \mathbf{w}_1} - l \underbrace{\mathbf{A}^T \frac{\mathbf{e}_y}{\Delta y}}_{=: \mathbf{w}_2}\right)\right)$$

$$\tilde{r}(\mathbf{x}) \propto \sum_{m,n} \delta(\mathbf{x} - m \mathbf{b}_1 - n \mathbf{b}_2)$$

$$\tilde{R}(\mathbf{f}) \propto \sum_{k,l} \delta(\mathbf{f} - k \mathbf{w}_1 - l \mathbf{w}_2)$$

Gittervektoren im Ortsbereich

Gittervektoren im Frequenzbereich

Es gilt:

$$\mathbf{b}_1^T \mathbf{w}_1 = \Delta x \mathbf{e}_x^T \underbrace{(\mathbf{A}^{-1})^T \mathbf{A}^T}_{\mathbf{I}} \frac{\mathbf{e}_x}{\Delta x} = 1 \quad \mathbf{b}_1^T \mathbf{w}_2 = \Delta x \mathbf{e}_x^T \underbrace{(\mathbf{A}^{-1})^T \mathbf{A}^T}_{\mathbf{I}} \frac{\mathbf{e}_y}{\Delta y} = 0$$

$\mathbf{I}$  : Einheitsmatrix

$$\mathbf{b}_2^T \mathbf{w}_2 = 1 \quad \mathbf{b}_2^T \mathbf{w}_1 = 0$$

- In Matrixschreibweise:

$$\begin{pmatrix} \mathbf{b}_1^T \mathbf{w}_1 & \mathbf{b}_1^T \mathbf{w}_2 \\ \mathbf{b}_2^T \mathbf{w}_1 & \mathbf{b}_2^T \mathbf{w}_2 \end{pmatrix} = (\mathbf{b}_1, \mathbf{b}_2)^T (\mathbf{w}_1, \mathbf{w}_2) = (\mathbf{w}_1, \mathbf{w}_2)^T (\mathbf{b}_1, \mathbf{b}_2) = \mathbf{I} = \begin{pmatrix} 1 & 0 \\ 0 & 1 \end{pmatrix}$$

$$(\mathbf{w}_1, \mathbf{w}_2) = \begin{pmatrix} \mathbf{b}_1^T \\ \mathbf{b}_2^T \end{pmatrix}^{-1}$$

$$(\mathbf{b}_1, \mathbf{b}_2) = \begin{pmatrix} \mathbf{w}_1^T \\ \mathbf{w}_2^T \end{pmatrix}^{-1}$$

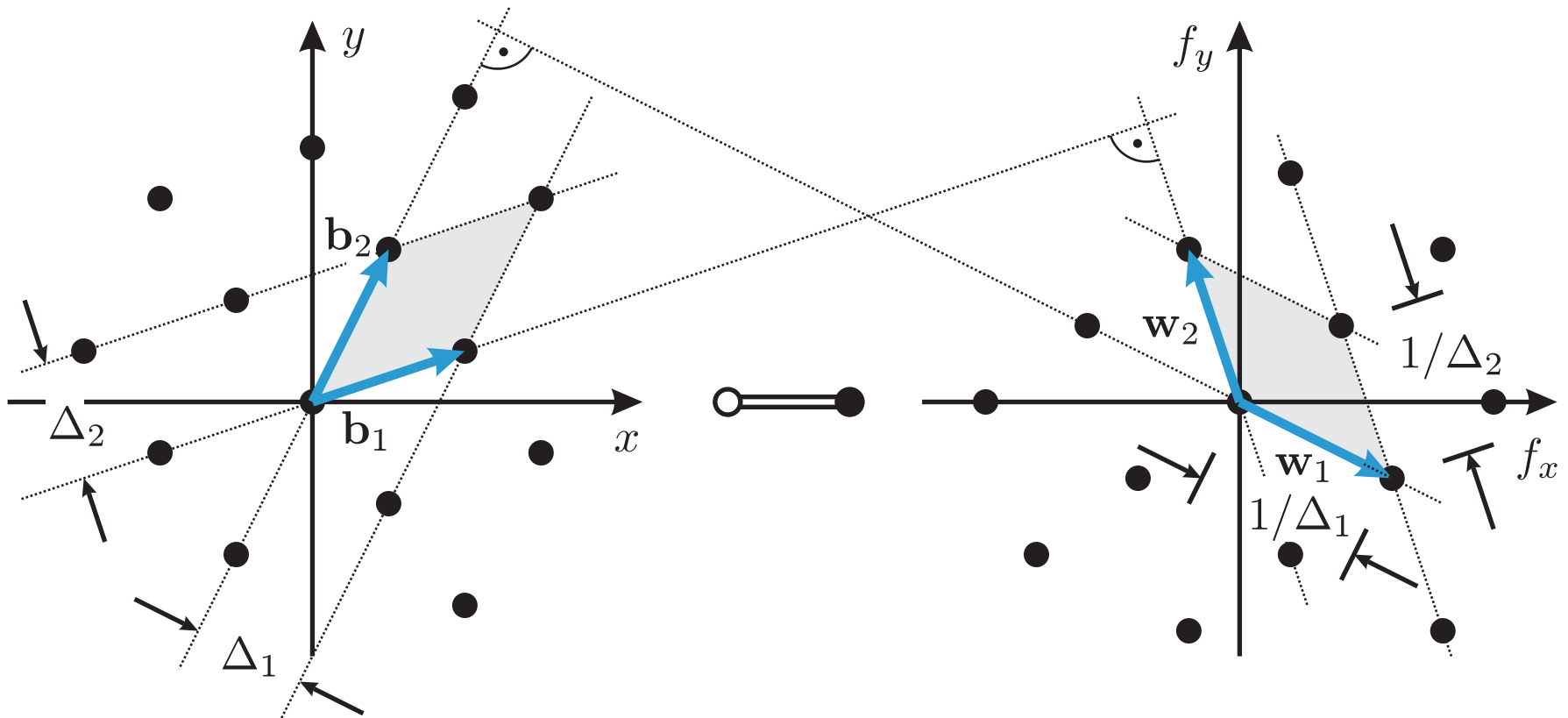
- Mit diesen Gleichungen kann aus einem Abtastraster das andere berechnet werden.

**Reziprozität:**

$$\det(\mathbf{b}_1, \mathbf{b}_2) = \frac{1}{\det(\mathbf{w}_1, \mathbf{w}_2)}$$

## 8.3.6 Abtastung zweidimensionaler Signale

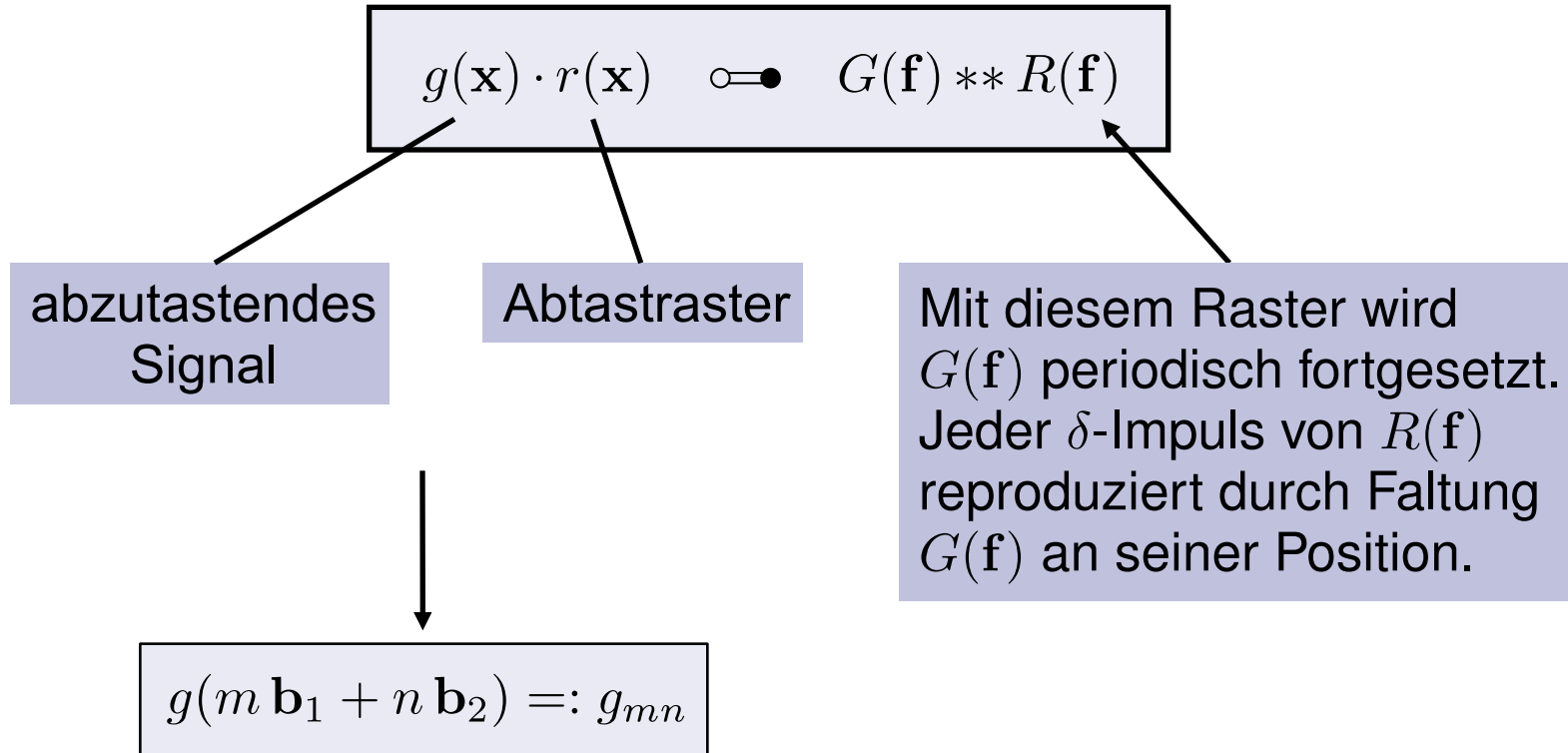
- Die Fläche des durch  $b_1, b_2$  aufgespannten Parallelogramms ist reziprok zur Fläche des durch  $w_1, w_2$  aufgespannten Parallelogramms.



Basisvektoren zur Beschreibung eines schiefwinkligen Abtastrasters  
und seines Spektrums

## 8.3.6 Abtastung zweidimensionaler Signale

### Abtastung:



## 8.3.7 Abtasttheorem für zweidimensionale Signale

- Sei  $g(\mathbf{x})$  bandbegrenzt, d. h. es gibt ein beschränktes Gebiet  $\Omega_G \subset \mathbb{R}^2$ , so dass gilt:  $G(\mathbf{f}) = 0$  für  $\mathbf{f} \notin \Omega_G$ . Das Signal  $g(\mathbf{x})$  kann aus seinen auf einem regelmäßigen Abtastraster gewonnenen Abtastwerten  $g_{mn}$  **fehlerfrei** rekonstruiert werden, wenn bei der periodischen Fortsetzung keine Überlappungen entstehen.
- Ein **Interpolationsfilter** zur Rekonstruktion:

$$i_{\Omega_G}(\mathbf{x}) = \mathcal{F}^{-1}\{I_{\Omega_G}(\mathbf{f})\} \quad I_{\Omega_G}(\mathbf{f}) := \begin{cases} 1 & \text{für } \mathbf{f} \in \Omega_G \\ 0 & \text{sonst} \end{cases}$$

### Abtastung:

$$g(\mathbf{x}) r(\mathbf{x}) = \sum_{m,n} g(m \mathbf{b}_1 + n \mathbf{b}_2) \delta(\mathbf{x} - m \mathbf{b}_1 - n \mathbf{b}_2) \quad \Leftrightarrow \quad \propto \sum_{k,l} G(\mathbf{f} - k \mathbf{w}_1 - l \mathbf{w}_2)$$

### Rekonstruktion:

$$\downarrow ** i_{\Omega_G}(\mathbf{x}) \quad \Leftrightarrow \quad \downarrow \cdot I_{\Omega_G}(\mathbf{f})$$

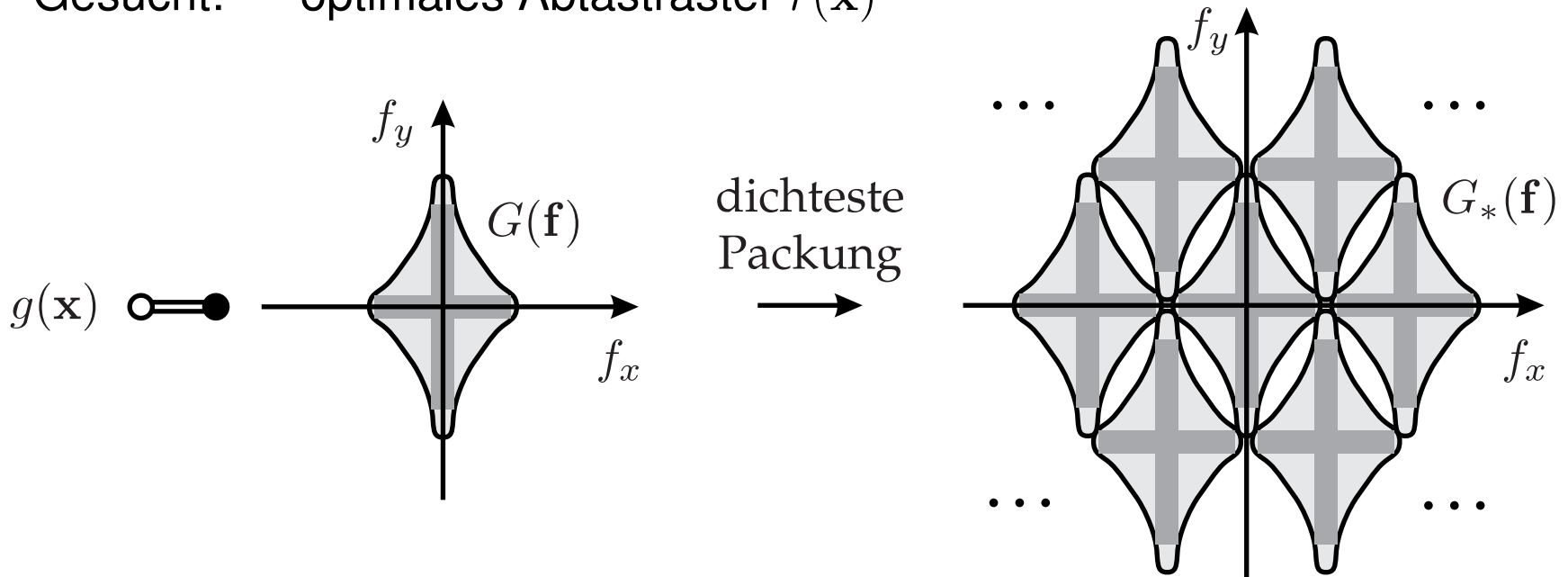
$$g(\mathbf{x}) = \sum_{m,n} g_{mn} i_{\Omega_G}(\mathbf{x} - m \mathbf{b}_1 - n \mathbf{b}_2) \quad \Leftrightarrow \quad G(\mathbf{f})$$

## Optimale Abtastung

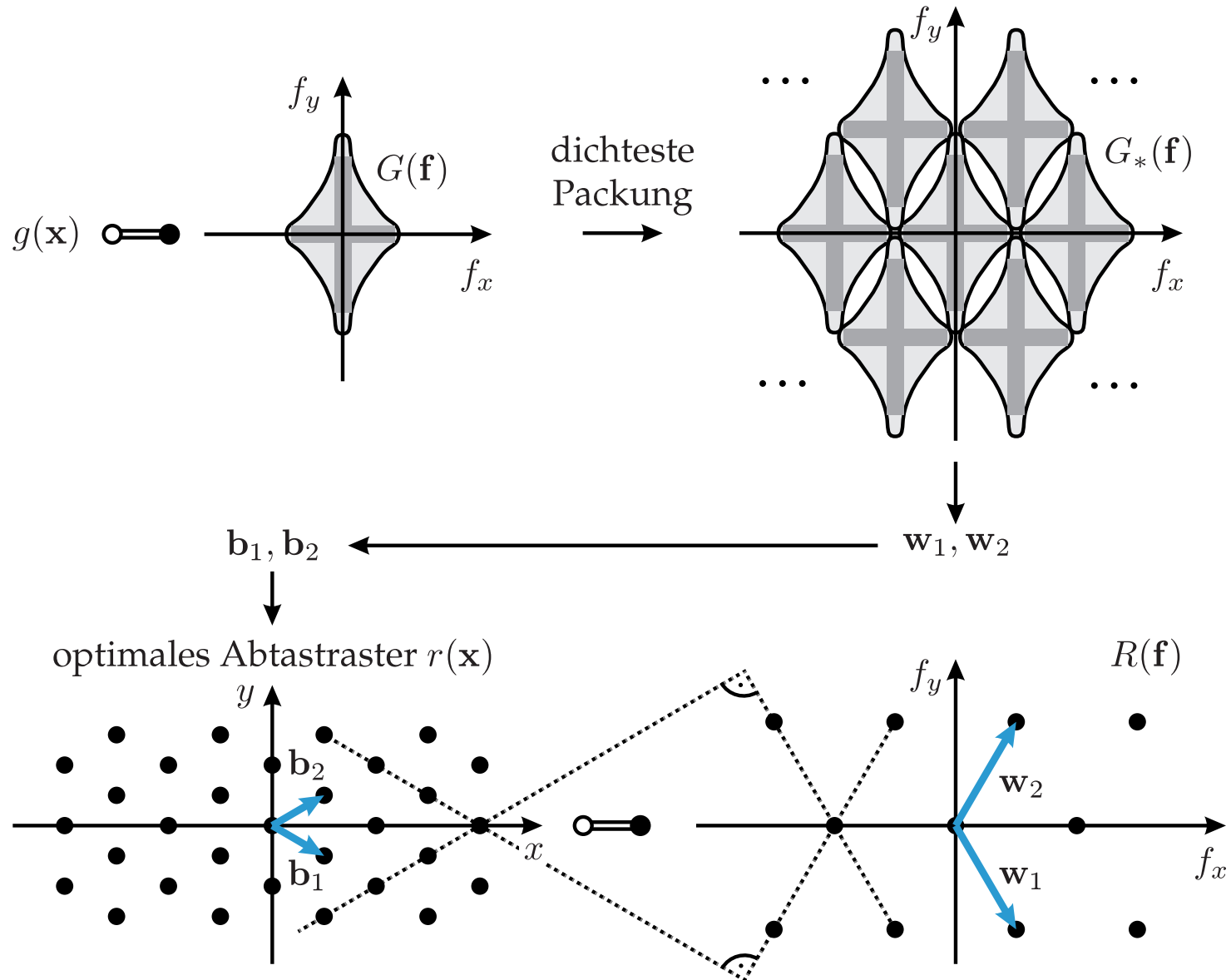
- Dichteste Packung der Spektren  $G(\mathbf{f} - m\mathbf{w}_1 - n\mathbf{w}_2)$  im Frequenzbereich entspricht der größten zulässigen Abtastung von  $g(\mathbf{x})$  im Ortsbereich

## Beispiel: Optimale Abtastung

- Gegeben:  $g(\mathbf{x})$
- Gesucht: optimales Abtastraster  $r(\mathbf{x})$



# 8.3.7 Abtasttheorem für zweidimensionale Signale



### Definition:

$$G_{kl} := \sum_{m=0}^{M-1} \left( \sum_{n=0}^{N-1} g_{mn} e^{-j2\pi \frac{nl}{N}} \right) e^{-j2\pi \frac{mk}{M}} = \sum_{m=0}^{M-1} \sum_{n=0}^{N-1} g_{mn} e^{-j2\pi \left( \frac{mk}{M} + \frac{nl}{N} \right)}$$

$$g_{mn} = \frac{1}{MN} \sum_{k=0}^{M-1} \sum_{l=0}^{N-1} G_{kl} e^{j2\pi \left( \frac{mk}{M} + \frac{nl}{N} \right)}$$

- 2D-DFT setzt implizit  $g_{mn}$  und  $G_{kl}$  in beide Koordinatenrichtungen **periodisch** fort
- Zusammenhang  $\mathbf{x}$ ,  $\mathbf{f}$  mit Indizes  $m$ ,  $n$ ,  $k$ ,  $l$ :

$$\mathbf{x} = (m \Delta x, n \Delta y)^T \quad \mathbf{f} = \left( \frac{k}{M \Delta x}, \frac{l}{N \Delta y} \right)^T$$

## 8.3.8 Die zweidimensionale DFT

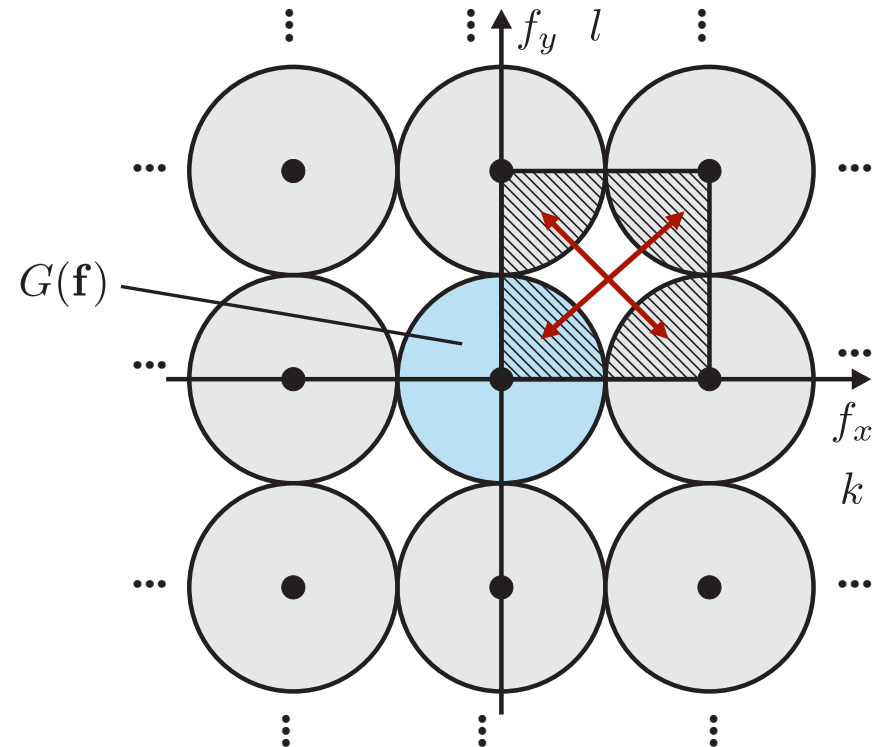
- Berechnung: zeilen- und anschließend spaltenweise 1D-DFT oder umgekehrt!

### Aufwand:

- direkte Berechnung:  $M^2 N^2$  komplexe Multiplikationen und Additionen
- mit 1D-FFT:  $MN(\log_2 M + \log_2 N)$  kompl. Mult. und Additionen

### „Fenster“ der DFT

- periodische Fortsetzung des Spektrums  $G_{kl}$
- „Fenster“ (DFT-Ausschnitt): ungewohnte Anordnung der Frequenzen
- gewohnte Anordnung durch Überkreuzvertauschung der vier Quadranten des DFT-Fensters
- gleicher Sachverhalt gilt auch im Ortsbereich!

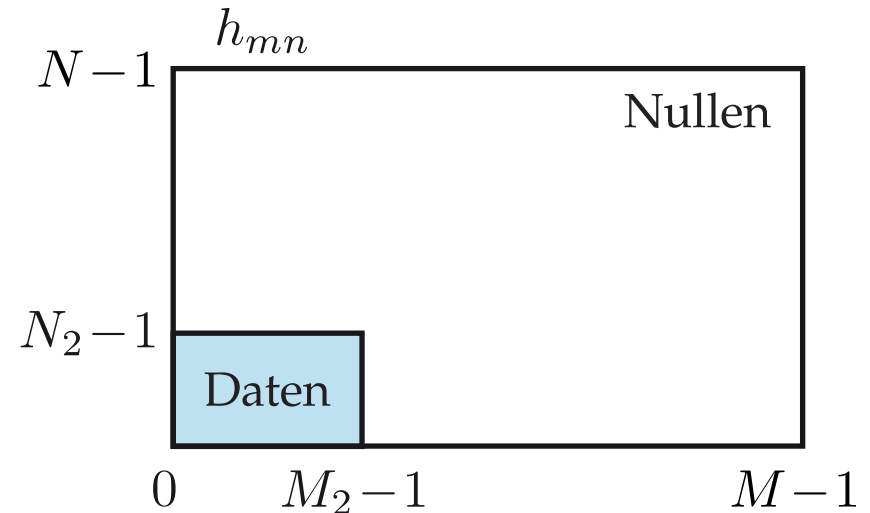
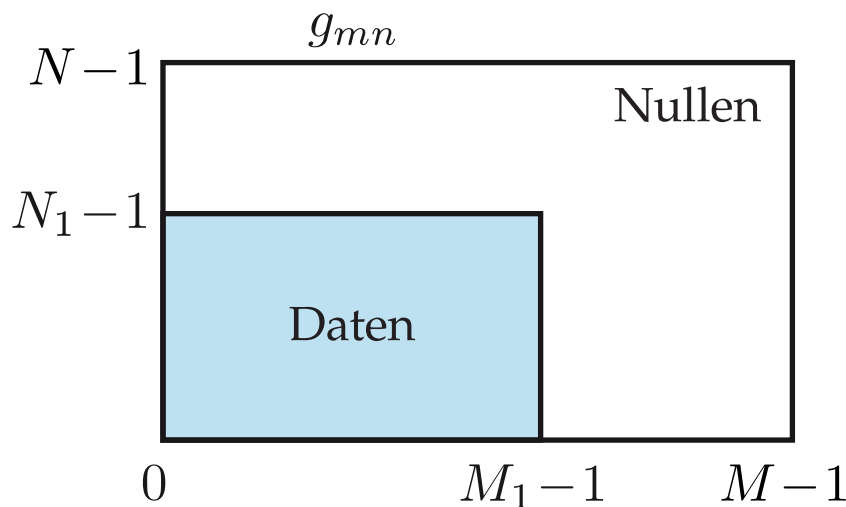


## Faltungstheorem:

$$\text{DFT}^{-1}\{G_{kl} \cdot H_{kl}\} = g_{mn} ** h_{mn} = \sum_{\mu=0}^{M-1} \sum_{\nu=0}^{N-1} g_{\mu,\nu} h_{(m-\mu) \bmod M, (n-\nu) \bmod N}$$

zyklische Faltung

- Vermeidung des Randeffektes durch *zero padding* in beiden Dimensionen



## 8.3.8 Die zweidimensionale DFT

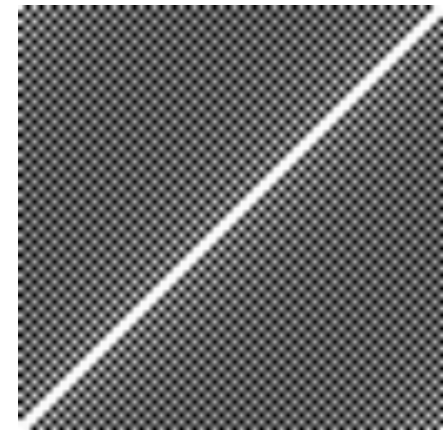
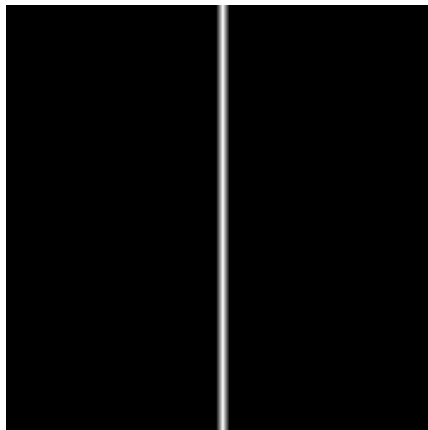
### Beispiele 8.15/8.16: DFT einer horizontalen bzw. diagonalen Linie

- Spektren sind Dirac-Geraden senkrecht zur ursprünglichen Linie

Original



Betrags-  
spektrum



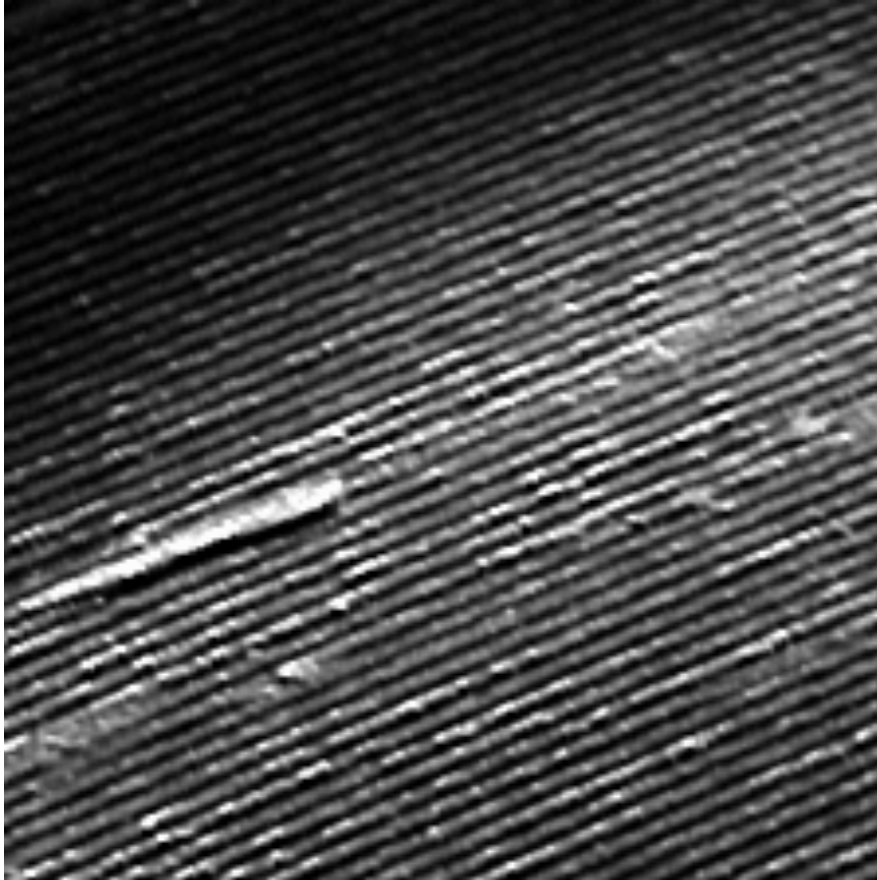
horizontal

diagonal

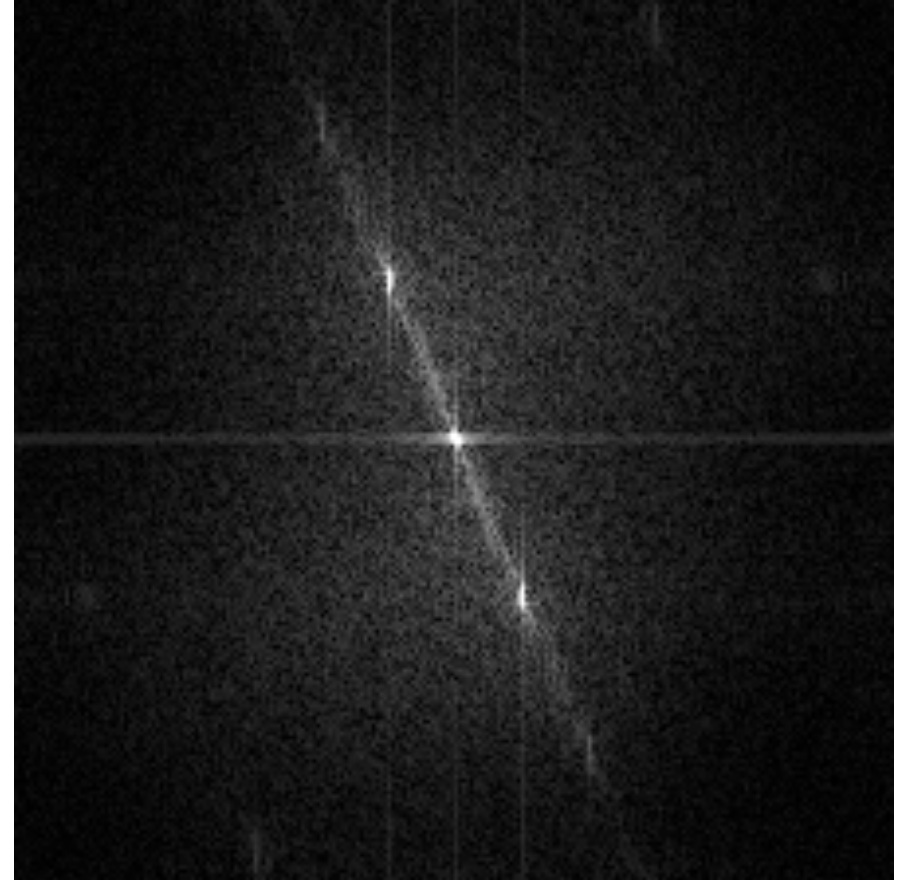
diag., verschoben

### Beispiel 8.17: DFT einer periodischen Riefentextur

- Leckeffekt ist deutlich zu sehen

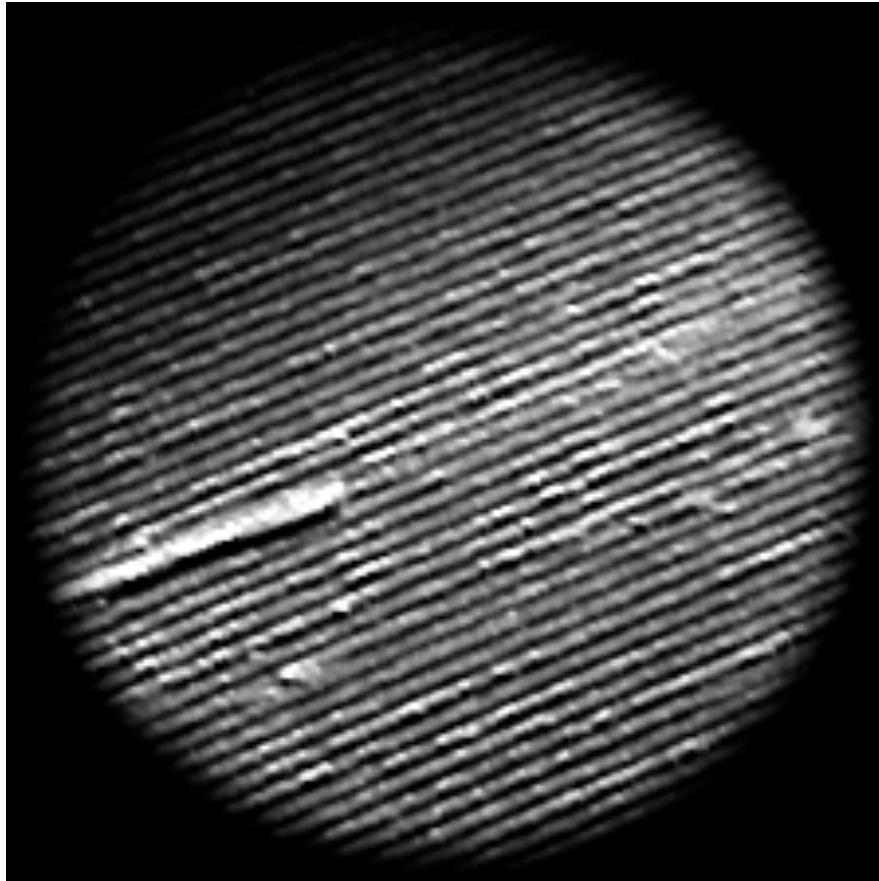


Stoßtextur  $g_{mn}$

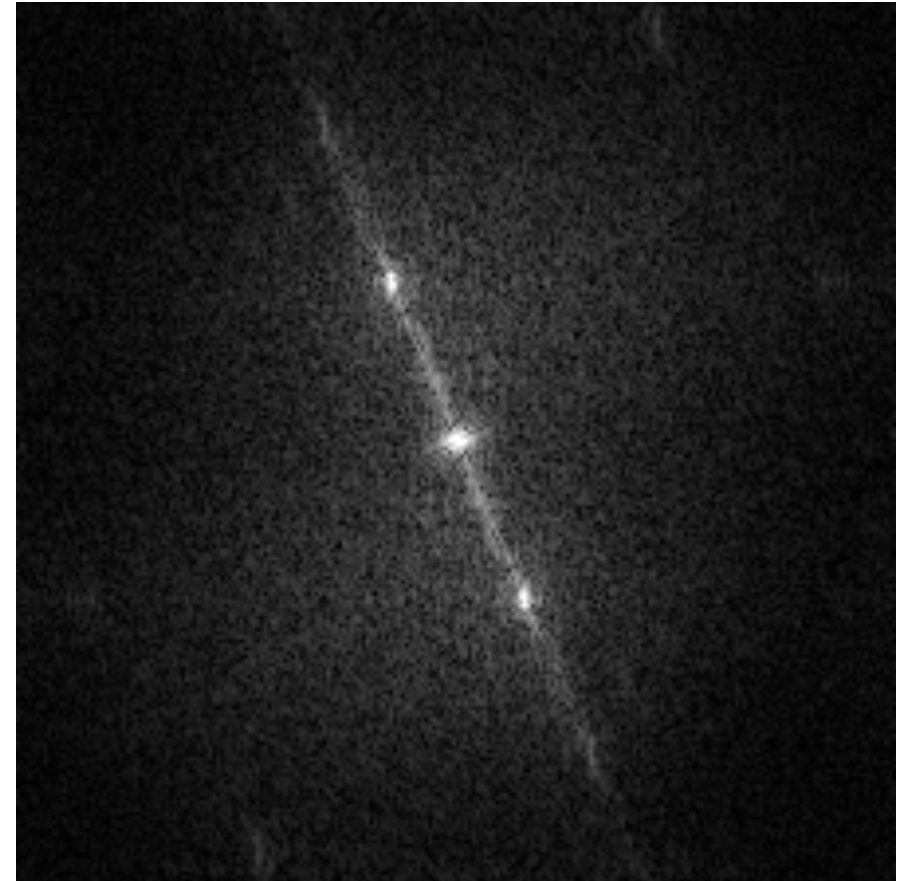


$\log(1 + |\text{DFT}\{g_{mn}\}|)$

- Verringerung des Leckeffekts durch Multiplikation mit Hann-Fenster



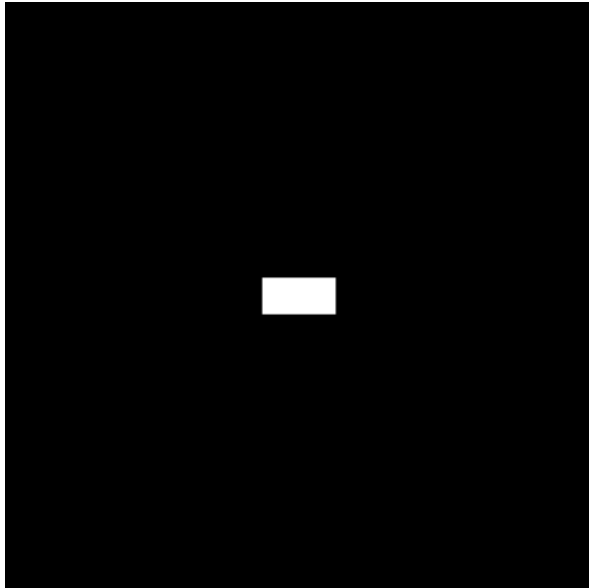
$$g_{mn} \cdot w_{mn}$$



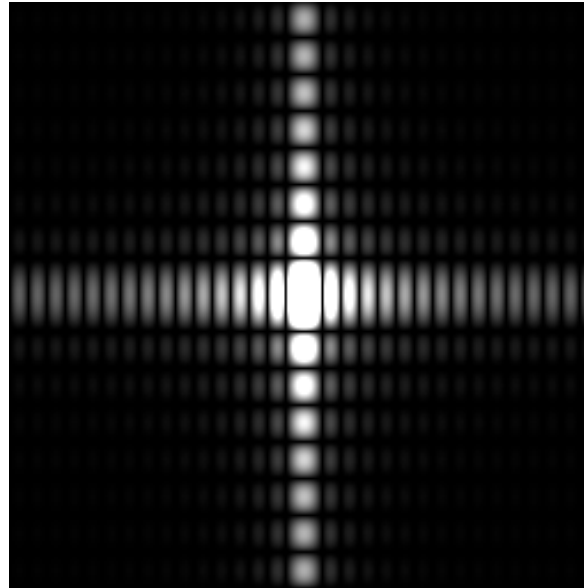
$$\log(1 + |\text{DFT}\{g_{mn} \cdot w_{mn}\}|)$$

### Beispiel 8.18: DFT eines Rechtecks

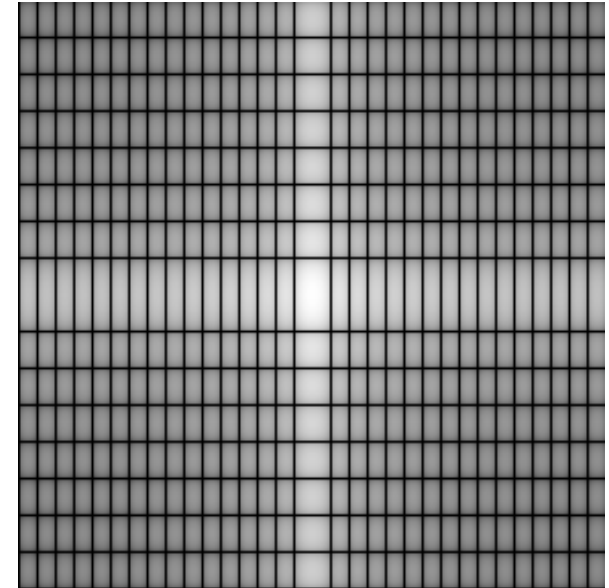
- Signal entspricht Produkt zweier Rechteckfunktionen
- Spektrum entspricht Produkt zweier Sinc-Funktionen



$g_{mn}$



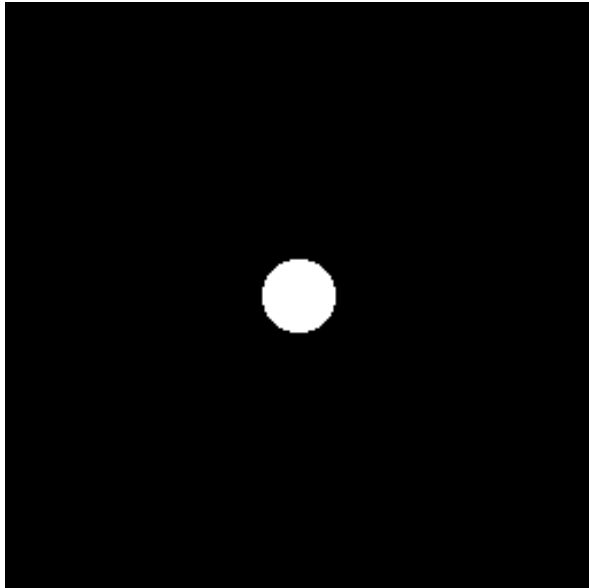
$|\text{DFT}\{g_{mn}\}|$



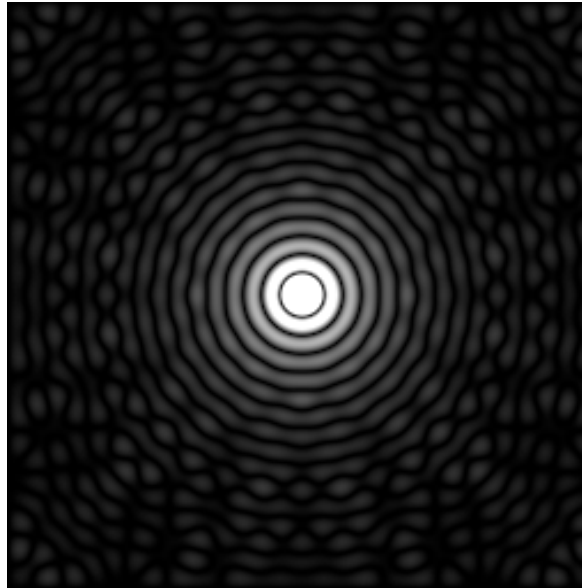
$\log(1 + |\text{DFT}\{g_{mn}\}|)$

### Beispiel 8.19: DFT einer Kreisscheibe

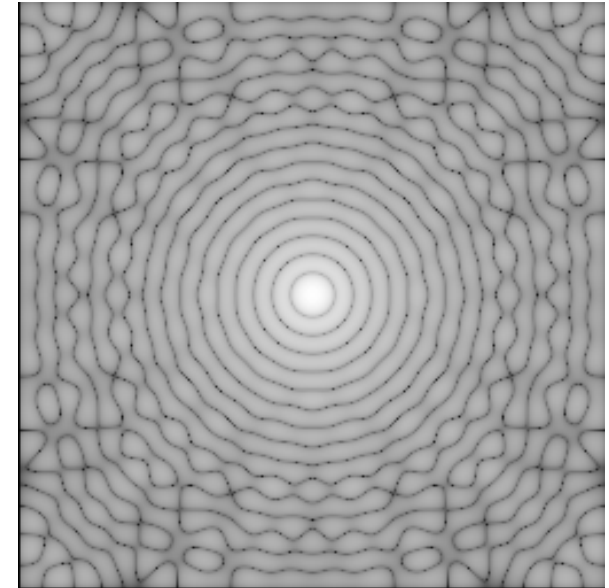
- Wegen der Ortsdiskretisierung bilden Nullstellen keine perfekten konzentrischen Kreise mehr



$g_{mn}$



$|\text{DFT}\{g_{mn}\}|$

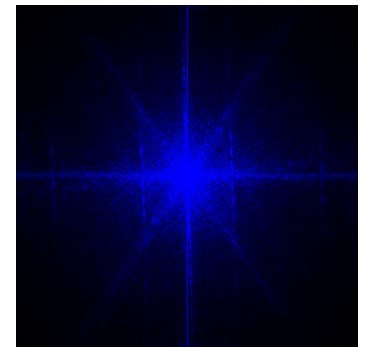
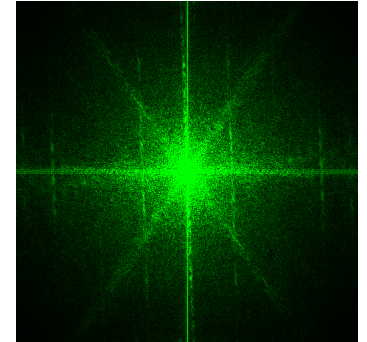
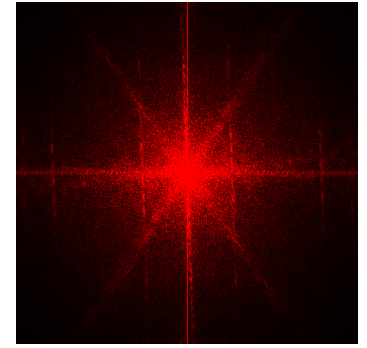
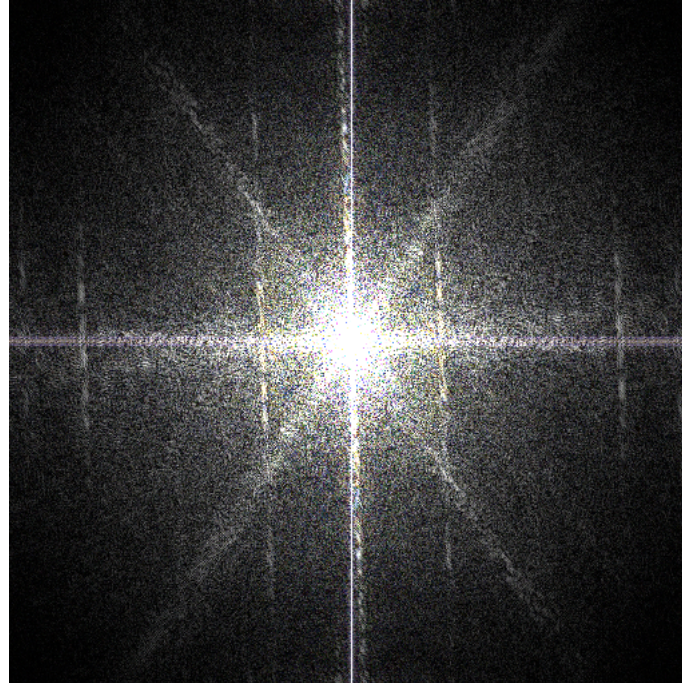


$\log(1 + |\text{DFT}\{g_{mn}\}|)$

## 8.3.8 Die zweidimensionale DFT

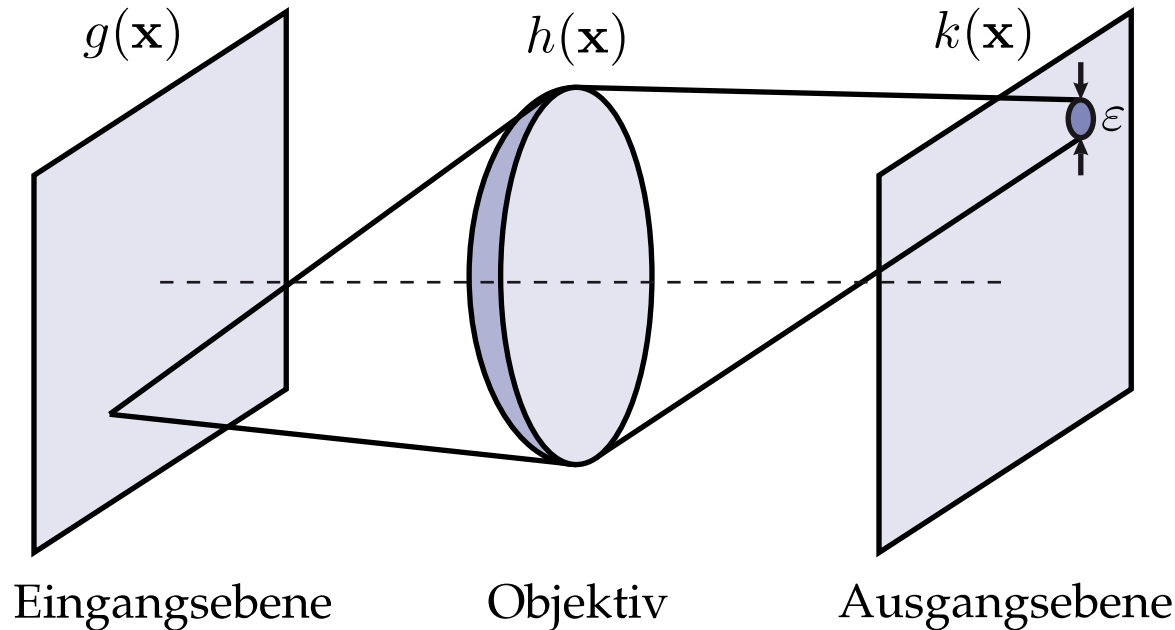
### Beispiel 8.21: DFT eines Farbluftbildes

- Farbkanäle wurden getrennt einer DFT unterzogen
- Ergebnis erneut als Farbbild dargestellt



## Beispiel 8.23: Unscharfe optische Abbildung

- Oberfläche sei um  $\Delta g$  außer Fokus
- ➔ Oberflächenpunkt  $\rightarrow$  Unschärfekreis in Bildebene,  $\emptyset : \varepsilon = \varepsilon(\Delta g)$



Inkohärentes Licht:

- $g(\mathbf{x}), k(\mathbf{x})$  sind Intensitäten (Leistung pro Fläche)
- Intensitäten überlagern sich additiv

## ■ Ausgangsbild:

$$g(\mathbf{x}) ** h(\mathbf{x}) = k(\mathbf{x}) \quad \Leftrightarrow \quad G(\mathbf{f}) H(\mathbf{f}) = K(\mathbf{f})$$

## ■ Impulsantwort:

$$h(\mathbf{x}) \approx \frac{4}{\pi \varepsilon^2} \text{rect}\left(\frac{\|\mathbf{x}\|}{\varepsilon}\right) \quad \|\mathbf{x}\| = \sqrt{x^2 + y^2} \quad \iint_{-\infty}^{\infty} h(\mathbf{x}) \, d\mathbf{x} = 1$$

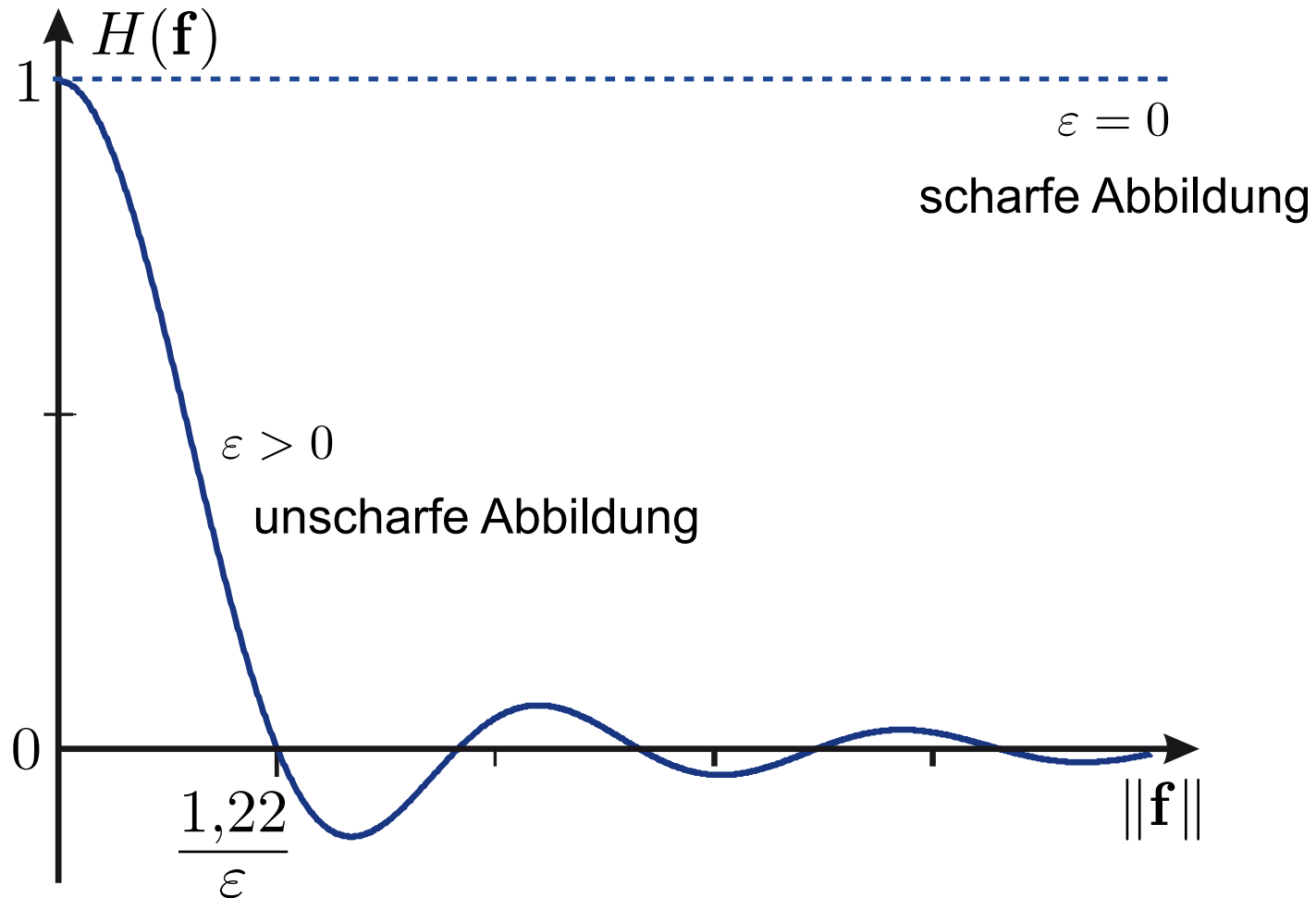
↑  
positiv, verlustfrei

## ■ Übertragungsfunktion:

$$H(\mathbf{f}) = \frac{2}{\pi \varepsilon} \cdot \frac{J_1(\pi \varepsilon \|\mathbf{f}\|)}{\|\mathbf{f}\|} \quad \text{rotationssymmetrisch}$$

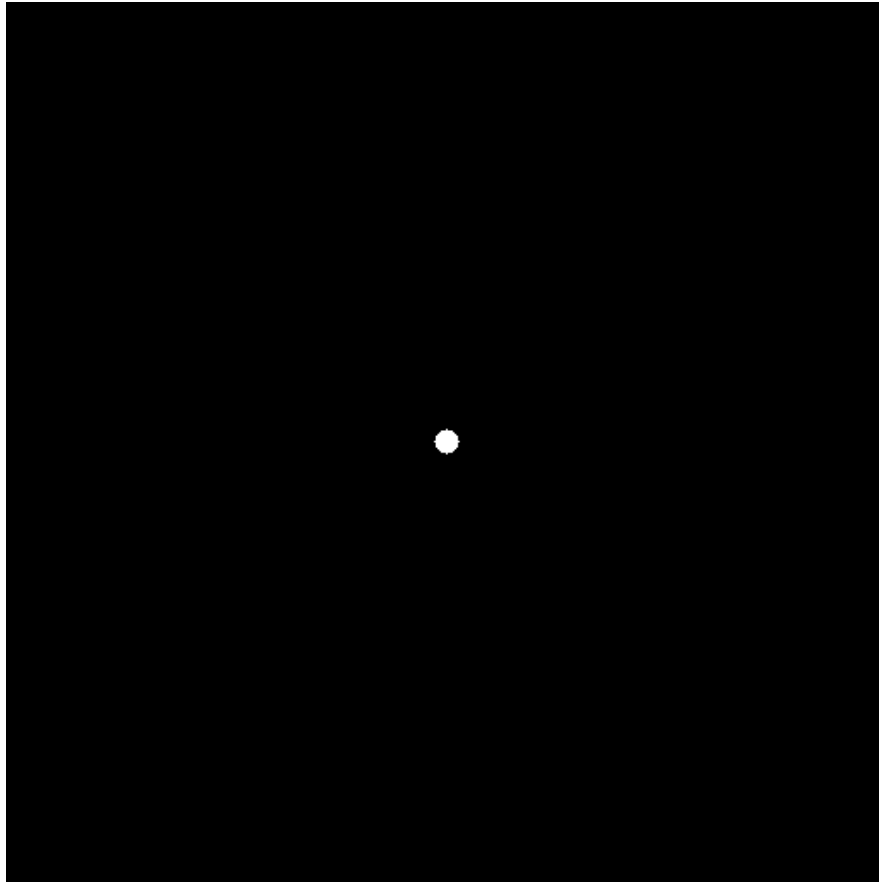
$J_1(\cdot)$  : Bessel-Funktion 1. Art, 1. Ordnung

Unschärfe optische Abbildung hat Tiefpasscharakter  
→ kann z. B. als Anti-Aliasing-Filter verwendet werden

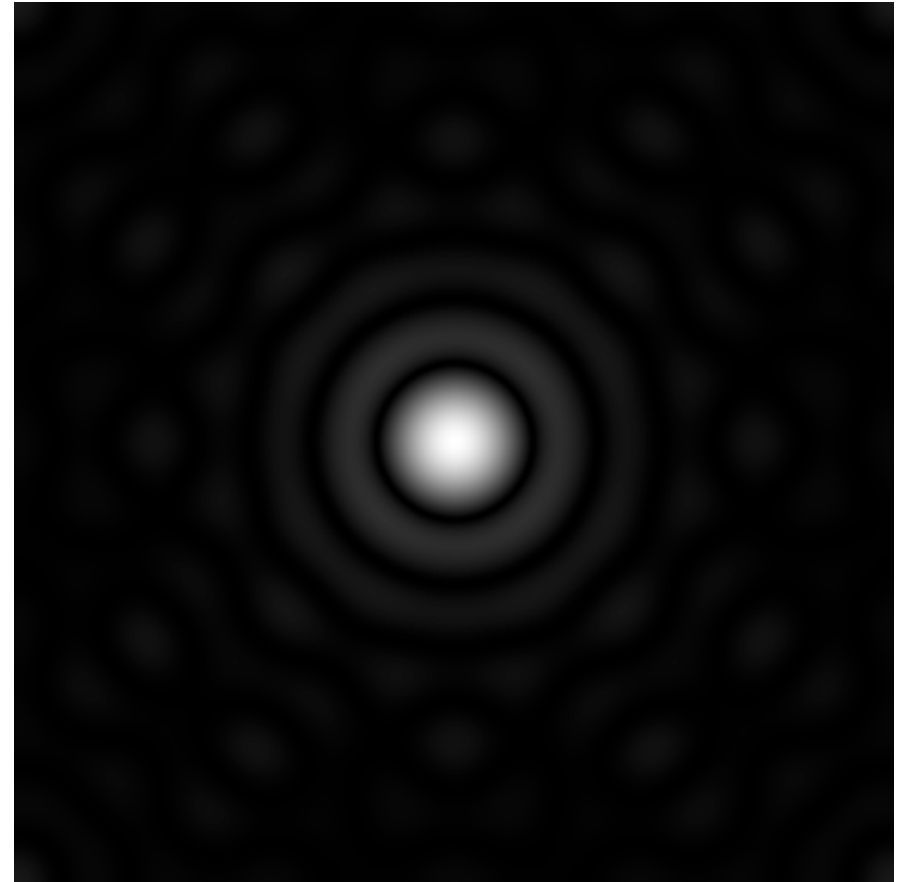


Übertragungsverhalten der optischen Abbildung

## Unschärfe optische Abbildung: Unschärfe Abbildung eines Punktes

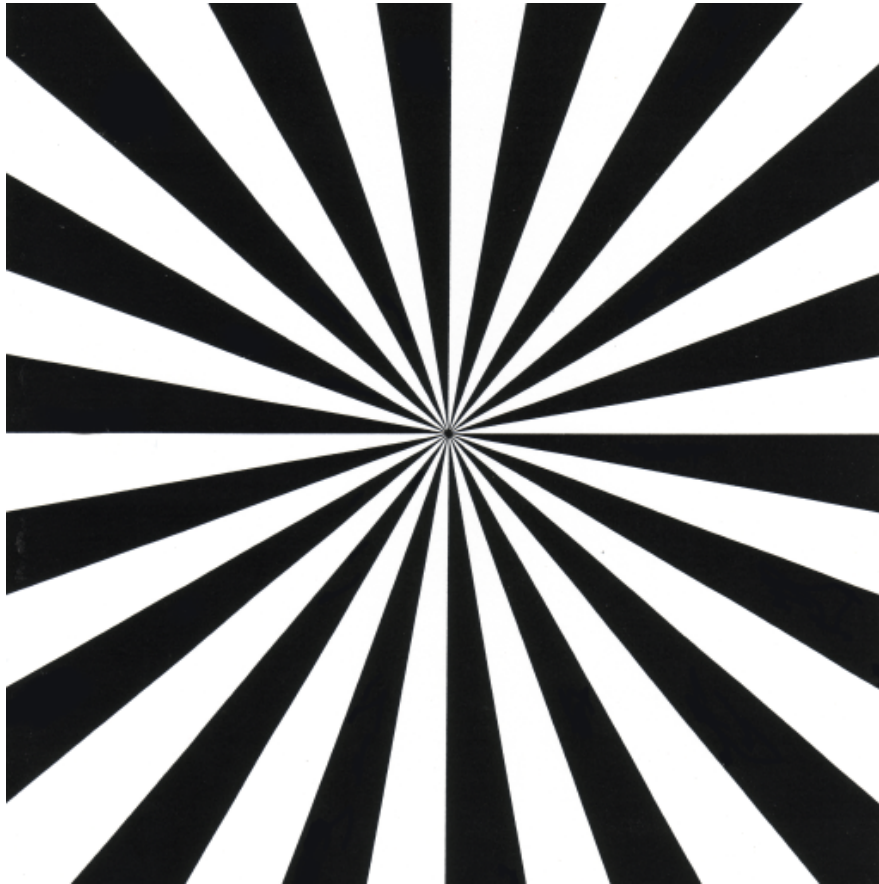


Unschärfescheibchen

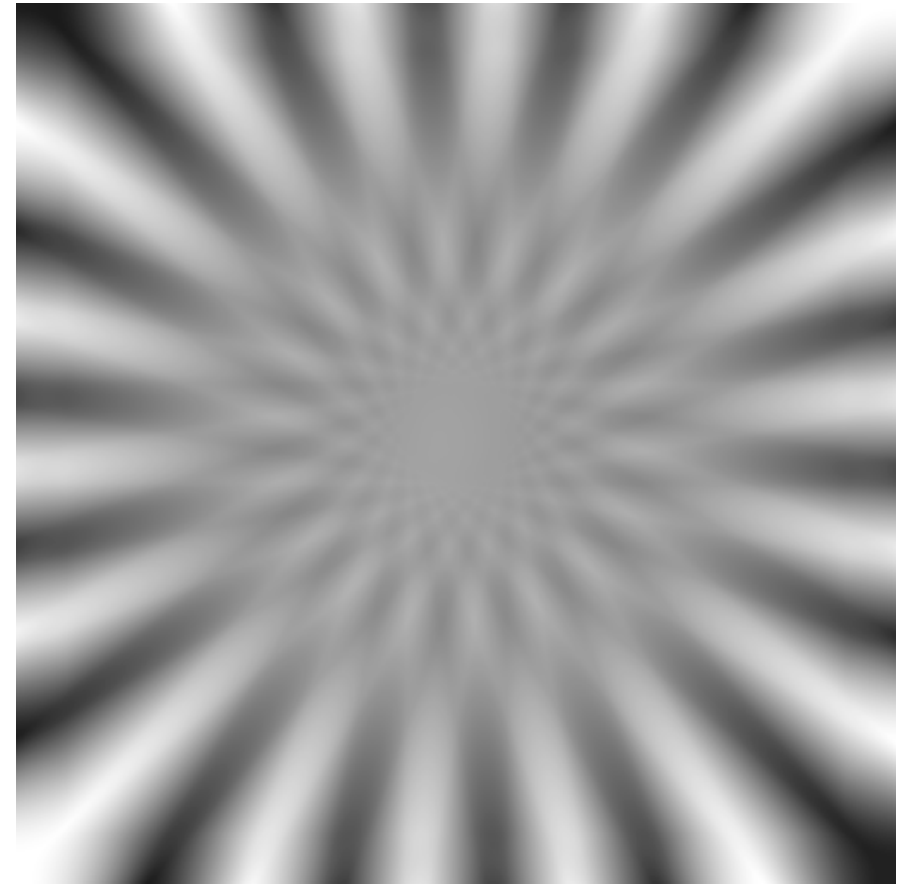


DFT-Betragspektrum

**Unscharfe optische Abbildung:** Auswirkung der negativen Werte von  $H(f)$

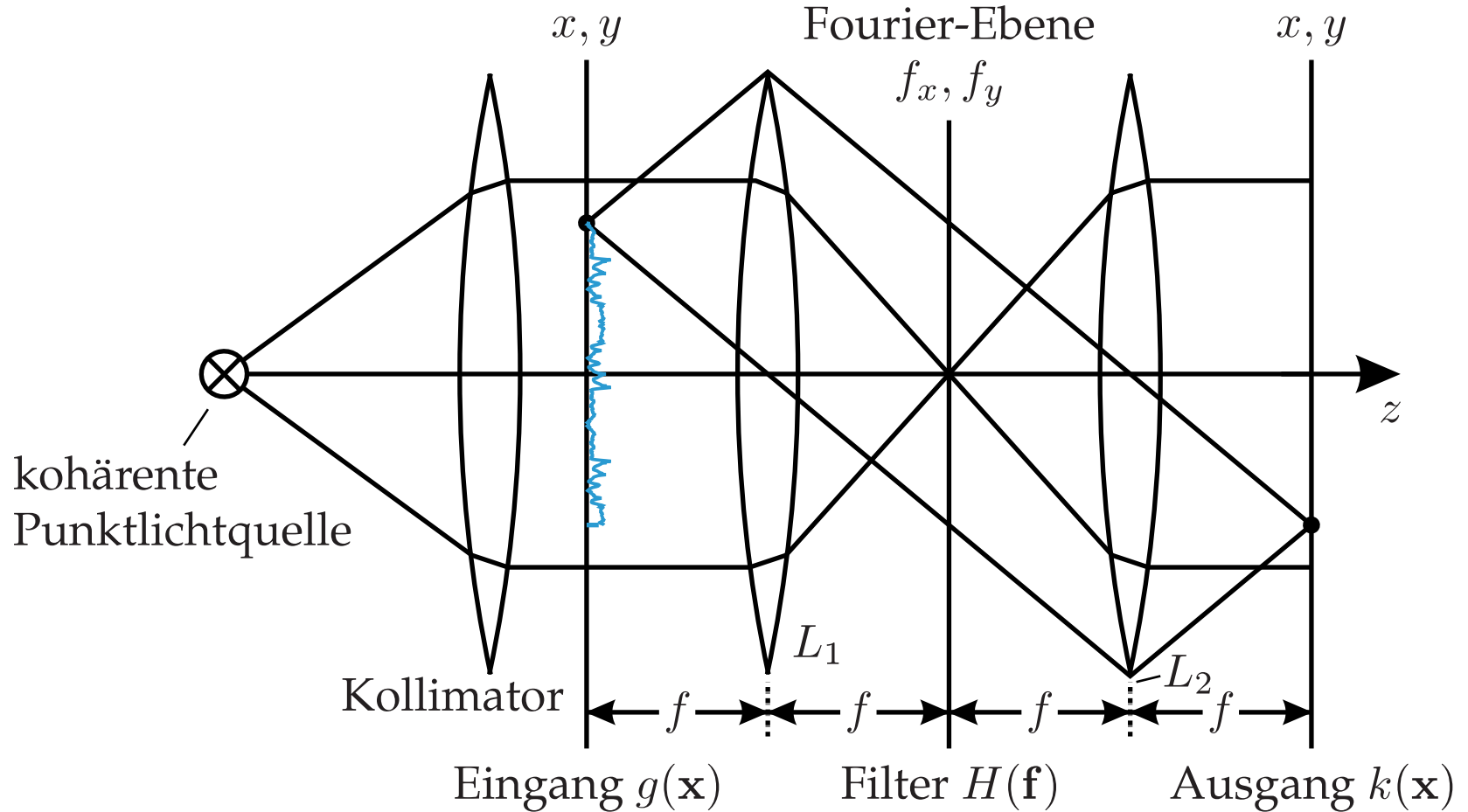


Siemens-Stern



Unscharfe Abbildung (simuliert)

## Beispiel 8.24: Kohärent-optische Bildfilterung



$g(\mathbf{x}), k(\mathbf{x})$  : elektrische Felder

$$L_1 : \boxed{g(\mathbf{x}) \rightarrow G(\mathbf{f})}$$

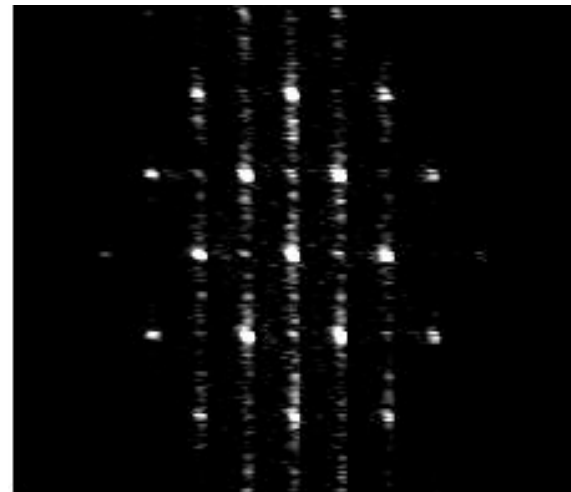
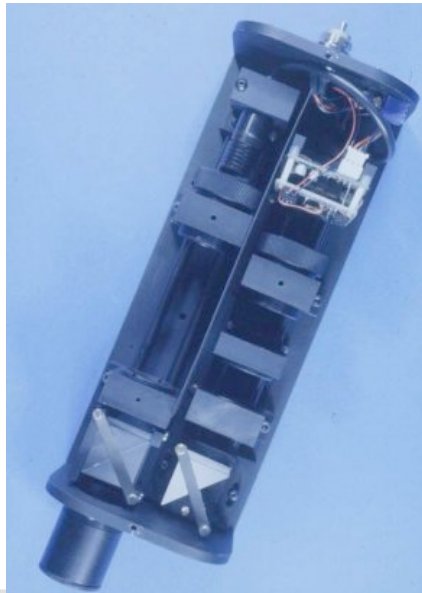
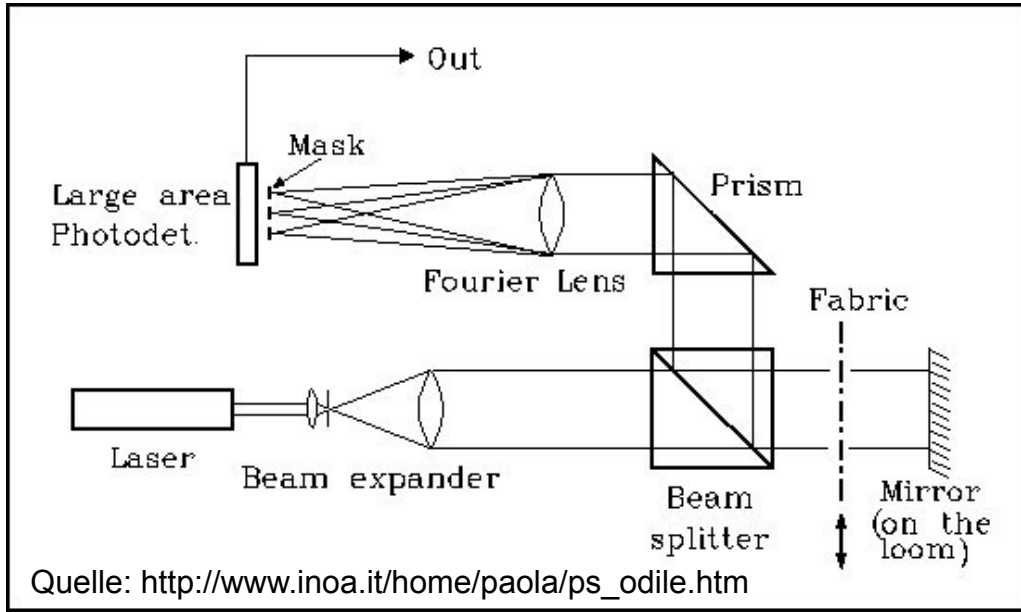
$$L_2 : \boxed{G(\mathbf{f}) \cdot H(\mathbf{f}) = K(\mathbf{f}) \rightarrow k(\mathbf{x})}$$

Filterung in Echtzeit

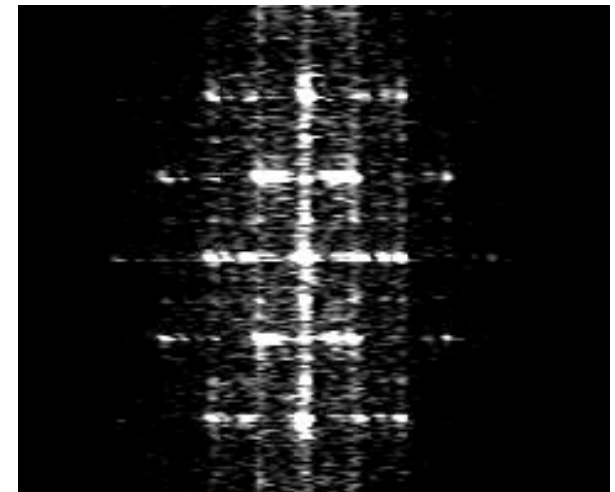
- optische Realisierung der 2D kontinuierlichen Fourier-Transformation

## Zur Plausibilität:

- (1)  $g(\mathbf{x}) = \delta(\mathbf{x})$  : Lichtpunkt im Fokus von  $L_1$   
→ Fourier-Ebene konstant beleuchtet:  $G(\mathbf{f}) \equiv 1$
- (2)  $g(\mathbf{x}) \equiv c$  : gleichmäßige Helligkeit  
→ parallele Strahlen der Beleuchtung werden von  $L_1$  fokussiert:  $G(\mathbf{f}) = c \delta(\mathbf{f})$



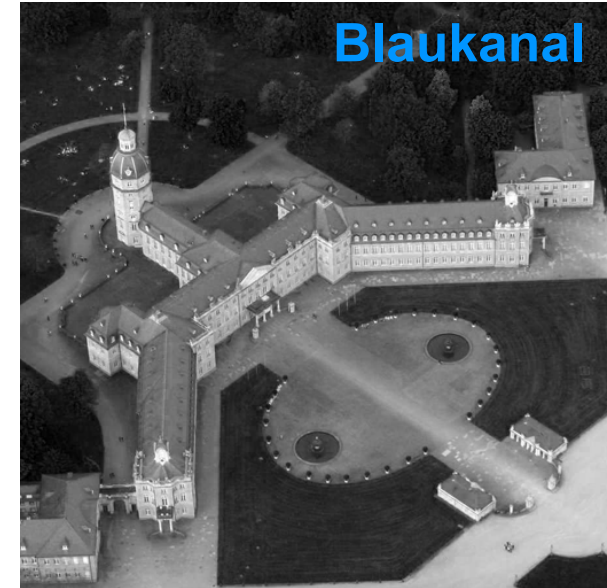
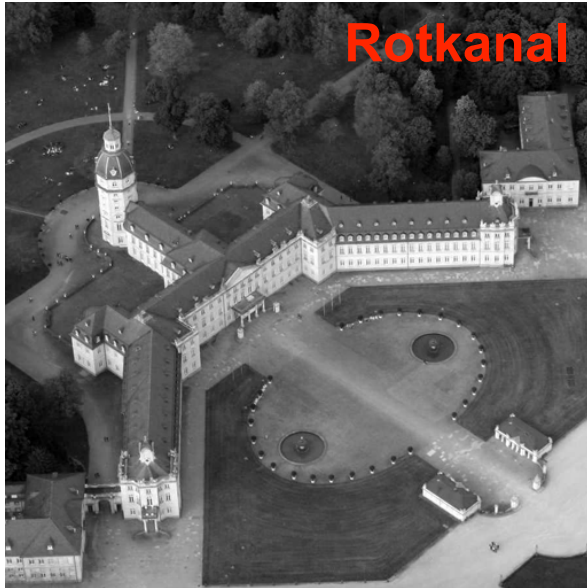
OFT: defektfreie Textur



OFT: defekte Textur

## Karhunen-Loève-Transformation (Hauptachsentransformation)

- Kanäle von Bildserien, Multispektralbildern, RGB-Bildern i. d. R. korreliert:  
 $g(\mathbf{x})$  : **vektorwertiges Bild**



## Ziele

- Dekorrelation
- Fusion
- Kompression

Bildintensitäten werden durch den Zufallsvektor  $g$  beschrieben

- Mittelwert des Wertevektors:

$$\boldsymbol{\mu}_{\mathbf{g}} = \mathbb{E}\{\mathbf{g}\}$$

- Kovarianzmatrix:

$$\mathbf{C}_{\mathbf{g}\mathbf{g}} = \mathbb{E}\{(\mathbf{g} - \boldsymbol{\mu}_{\mathbf{g}})(\mathbf{g} - \boldsymbol{\mu}_{\mathbf{g}})^{\text{T}}\}$$

$\mathbf{e}_i$  : Eigenvektoren der Kovarianzmatrix,  $i = 1, \dots, Q$

$\lambda_i$  : Eigenwerte mit  $\lambda_i \geq \lambda_{i+1}$

$\mathbf{A}$  : Matrix mit  $\mathbf{e}_i$  als Zeilenvektoren, Anordnung in absteigender Reihenfolge der Eigenwerte

$$\mathbf{A} = (\mathbf{e}_1, \dots, \mathbf{e}_i, \dots, \mathbf{e}_Q)^{\text{T}}$$

- Karhunen-Loève-Transformation:

$$\mathbf{k} = \mathcal{K}\{\mathbf{g}\} = \mathbf{A}(\mathbf{g} - \boldsymbol{\mu}_{\mathbf{g}})$$

(Hauptachsen-, Hotelling-Transformation, *Principal Components Analysis*)

## Vorgehensweise:

- Schätzung der Kovarianzmatrix, ggf. durch örtliche Mittelung (Ergodenhypothese)
- Lösung des Eigenwertproblems  
→ Eigenvektoren sortiert nach fallenden Eigenwerten
- Durchführung der Transformation

## Bemerkung:

- Kein schneller Algorithmus für die Karhunen-Loève-Transformation

## Eigenschaften

- linear
- orthogonal
- umkehrbar
- $\mathbf{k}$  ist mittelwertfrei
- Komponenten von  $\mathbf{k}$  sind unkorreliert (bei Gauß'schen Prozessen  $\Rightarrow$  stochastische Unabhängigkeit)
- nicht separierbar

$$\mathcal{K}\{a \mathbf{g}_1 + b \mathbf{g}_2\} = a \cdot \mathcal{K}\{\mathbf{g}_1\} + b \cdot \mathcal{K}\{\mathbf{g}_2\}$$

$$\mathbf{A}^{-1} = \mathbf{A}^T$$

$$\mathbf{g} = \mathcal{K}^{-1}\{\mathbf{k}\} = \mathbf{A}^T \mathbf{k} + \mu_{\mathbf{g}}$$

$$\mathbf{E}\{\mathbf{k}\} = \mathbf{A} (\mathbf{E}\{\mathbf{g}\} - \mu_{\mathbf{g}}) = \mathbf{0}$$

$$\begin{aligned} \mathbf{C}_{\mathbf{k}\mathbf{k}} &= \mathbf{A} \mathbf{C}_{\mathbf{g}\mathbf{g}} \mathbf{A}^T \\ &= \begin{pmatrix} \lambda_1 & & & 0 \\ & \lambda_2 & & \\ & & \ddots & \\ 0 & & & \lambda_Q \end{pmatrix} \end{aligned}$$

**Bedeutung der  $\lambda_i$ :**  $\lambda_i = \text{Var}\{k_i\}$

- $\lambda_i$  entspricht der Signalenergie, welche die Komponente  $k_i$  zum Kontrast des vektoriellen Bildes beiträgt
- Die Karhunen-Loève-Transformation ist **optimal** bezüglich des **mittleren quadratischen Darstellungsfehlers** („beste lineare Approximation“):

$$\mathbf{g} = \mathbf{A}^T \mathbf{k} + \boldsymbol{\mu}_g = \sum_{i=1}^Q \mathbf{e}_i k_i + \boldsymbol{\mu}_g$$

- Abbruch der Reihe nach  $\nu$  Gliedern  $\rightarrow$  Schätzung des Vektors  $\mathbf{g}$ :

$$\hat{\mathbf{g}} = \sum_{i=1}^{\nu} \mathbf{e}_i k_i + \boldsymbol{\mu}_g$$

- Darstellungsfehler:  $\Delta \mathbf{g} := \mathbf{g} - \hat{\mathbf{g}}$   $E\{\Delta \mathbf{g}^T \Delta \mathbf{g}\} = \sum_{i=\nu+1}^Q \lambda_i$  ist minimal

### Optimale Kompression der Karhunen-Loève-Transformation:

- Normierung der **Eigenwerte**  $\lambda_i \rightarrow$  Interpretation als Wahrscheinlichkeit

$$\xi_i := \frac{\mathbb{E}\{k_i^2\}}{\sum_{i=1}^Q \mathbb{E}\{k_i^2\}} = \frac{\lambda_i}{\sum_{i=1}^Q \lambda_i}$$

- **Entropie**  $H$  der Varianzen ist dabei **minimal**

$$H = - \sum_{i=1}^Q \xi_i \text{ld } \xi_i$$

$\Rightarrow$  Varianzen  $\lambda_i$  **maximal ungleichverteilt**

- Die Signalenergie und damit auch gewissermaßen die Information werden durch die Karhunen-Loève-Transformation maximal stark auf möglichst wenige Komponenten konzentriert

## Beweis: Unkorreliertheit der Komponenten

$$\begin{aligned} \mathbf{C}_{\mathbf{k}\mathbf{k}} &= \mathbb{E}\{\mathbf{k} \mathbf{k}^T\} = \mathbb{E}\{\mathbf{A}(\mathbf{g} - \boldsymbol{\mu}_{\mathbf{g}})(\mathbf{g} - \boldsymbol{\mu}_{\mathbf{g}})^T \mathbf{A}^T\} \\ &= \mathbf{A} \mathbb{E}\{(\mathbf{g} - \boldsymbol{\mu}_{\mathbf{g}})(\mathbf{g} - \boldsymbol{\mu}_{\mathbf{g}})^T\} \mathbf{A}^T = \mathbf{A} \mathbf{C}_{\mathbf{g}\mathbf{g}} \mathbf{A}^T \\ &= \begin{pmatrix} \mathbf{e}_1^T \\ \vdots \\ \mathbf{e}_Q^T \end{pmatrix} \mathbf{C}_{\mathbf{g}\mathbf{g}} (\mathbf{e}_1, \dots, \mathbf{e}_Q) = \begin{pmatrix} \mathbf{e}_1^T \\ \vdots \\ \mathbf{e}_Q^T \end{pmatrix} (\mathbf{C}_{\mathbf{g}\mathbf{g}} \mathbf{e}_1, \dots, \mathbf{C}_{\mathbf{g}\mathbf{g}} \mathbf{e}_Q) \\ &= \begin{pmatrix} \mathbf{e}_1^T \\ \vdots \\ \mathbf{e}_Q^T \end{pmatrix} (\lambda_1 \mathbf{e}_1, \dots, \lambda_Q \mathbf{e}_Q) \\ &= \begin{pmatrix} \lambda_1 \mathbf{e}_1^T \mathbf{e}_1 & \lambda_1 \mathbf{e}_1^T \mathbf{e}_2 & & \\ \lambda_2 \mathbf{e}_2^T \mathbf{e}_1 & & \ddots & \\ & & & \lambda_Q \mathbf{e}_Q^T \mathbf{e}_Q \end{pmatrix} = \begin{pmatrix} \lambda_1 & & 0 \\ & \ddots & \\ 0 & & \lambda_Q \end{pmatrix} \end{aligned}$$

⇒ Eigenvektormatrix  $\mathbf{A}$  bewirkt Diagonalisierung der Kovarianzmatrix  $\mathbf{C}_{\mathbf{g}\mathbf{g}}$  ■

### Beweis: Beste lineare Approximation

- Sei  $\mathbf{e}$  ein beliebiger Vektor mit  $\|\mathbf{e}\| = 1$  und  $\mathbf{k} = \mathbf{g}^T \mathbf{e}$  die Projektion von  $\mathbf{g}$  auf  $\mathbf{e}$ . Der Vektor  $\mathbf{g}$  ist nach Voraussetzung mittelwertfrei.
- Der Erwartungswert von  $\mathbf{k}$  lautet:

$$E\{\mathbf{k}\} = E\{\mathbf{g}^T \mathbf{e}\} = E\{\mathbf{g}^T\} \mathbf{e} = 0$$

- Für die Varianz von  $\mathbf{k}$  erhält man:

$$\begin{aligned} \text{Var}\{\mathbf{k}\} &= E\{(\mathbf{k} - E\{\mathbf{k}\})^2\} = E\{\mathbf{k}^2\} \\ &= E\{\mathbf{g}^T \mathbf{e} \cdot \mathbf{g}^T \mathbf{e}\} = E\{\mathbf{e}^T \mathbf{g} \mathbf{g}^T \mathbf{e}\} \\ &= \mathbf{e}^T E\{\mathbf{g} \mathbf{g}^T\} \mathbf{e} = \mathbf{e}^T \mathbf{C}_{\mathbf{g}\mathbf{g}} \mathbf{e} \end{aligned}$$

- Der letzte Ausdruck wird maximal, wenn  $\mathbf{e}$  und  $\mathbf{C}_{\mathbf{g}\mathbf{g}} \mathbf{e}$  linear abhängig (d. h. parallel) sind:

$$\lambda \mathbf{e} = \mathbf{C}_{\mathbf{g}\mathbf{g}} \mathbf{e} \quad \Leftrightarrow \quad \lambda = \mathbf{e}^T \mathbf{C}_{\mathbf{g}\mathbf{g}} \mathbf{e}$$

## 8.7 Karhunen-Loève-Transformation

- Die maximal mögliche Varianz von  $\mathbf{k}$  ergibt sich für den größten Eigenwert  $\lambda$
- Das Verfahren wird iterativ angewandt auf

$$\mathbf{g}' = \mathbf{g} - \mathbf{e} \mathbf{e}^T \mathbf{g}$$

- Ergebnis:  $\lambda_1 \geq \lambda_2 \geq \dots \geq \lambda_q$ , wobei  $\lambda_i$  unter allen möglichen Transformationen maximal ist
- Damit ist die mittlere mittlere Energie des Darstellungsfehlers insgesamt minimal

## Beispiel 8.34: Dekorrelation zwischen Farbkanälen

- Karhunen-Loève-Transformation des RGB-Bildes aus Folie 34
- 1. Komponente stellt 97,1 % der Signalenergie dar; die letzte nur 0,4 %



$$\lambda_1 = 7780$$



$$\lambda_2 = 204$$



$$\lambda_3 = 30$$

## Beispiel 8.35: Farbkompression

- Für  $\nu = 1$  ergibt sich ein 1D-Farbraum mit dem dominanten Farbton
- Bei  $\nu = 2$  werden nur rötliche und cyanfarbene Töne vermisst



$\nu = 1$



$\nu = 2$



$\nu = 3$

## Beispiel 8.36: Farbkompensation bei schwach korrelierten Kanälen

- Korrelationskoeffizienten betragen  $\rho_{RG} = 0,59$ ,  $\rho_{GB} = 0,70$  und  $\rho_{RB} = 0,32$
- Für  $\nu < 3$  muss man große Abstriche bei der Farbwiedergabe hinnehmen



$\nu = 1$

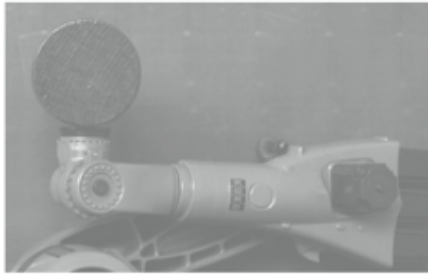


$\nu = 2$

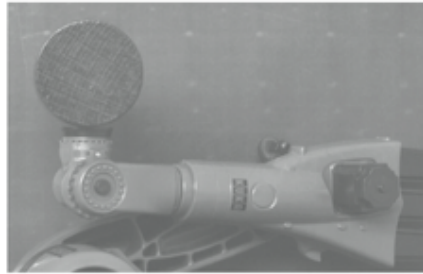


$\nu = 3$

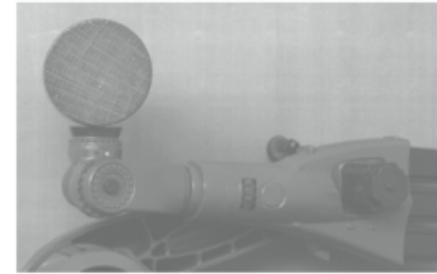
## Beispiel 8.37: Dekorrelation multispektraler Bilder



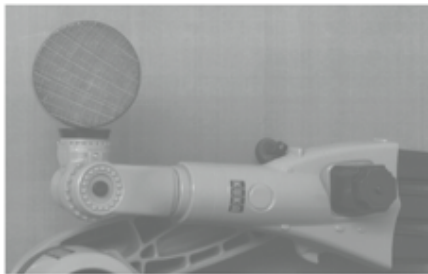
(b) 400 nm



(c) 450 nm



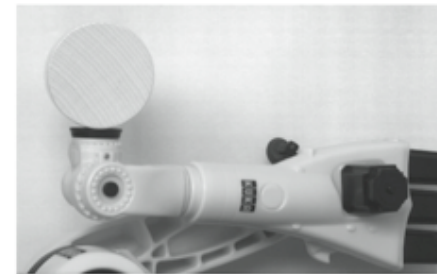
(d) 500 nm



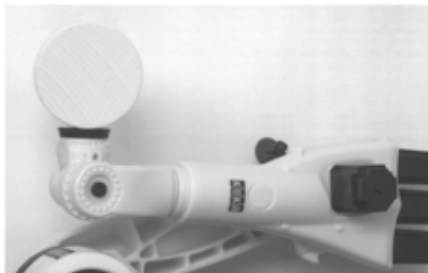
(e) 550 nm



(f) 600 nm



(g) 650 nm



(h) 700 nm

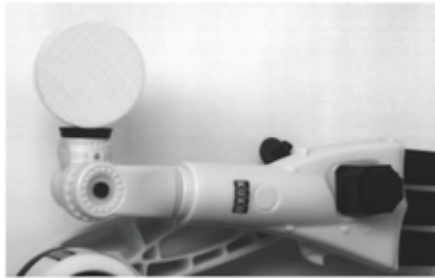


(i) 800 nm

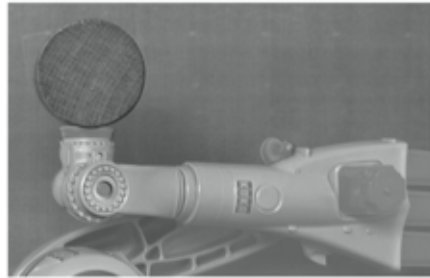


(j) 850 nm

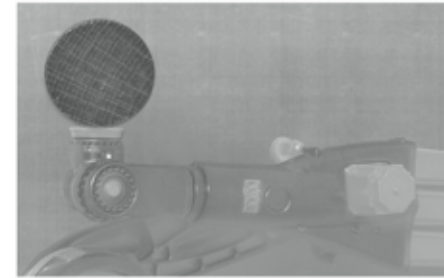
# 8.7 Karhunen-Loève-Transformation



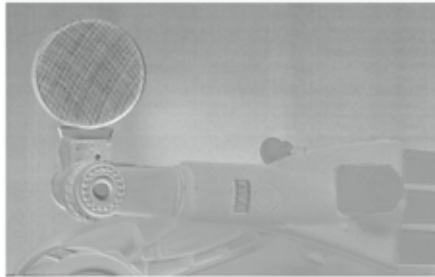
(a)  $\lambda_1 = 20829$



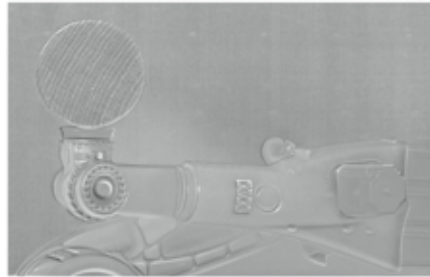
(b)  $\lambda_2 = 285$



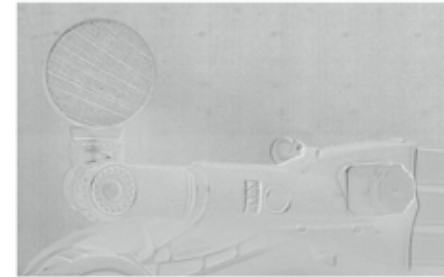
(c)  $\lambda_3 = 143$



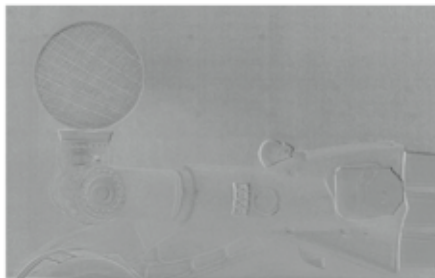
(d)  $\lambda_4 = 42$



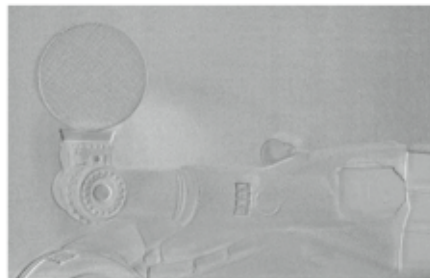
(e)  $\lambda_5 = 35$



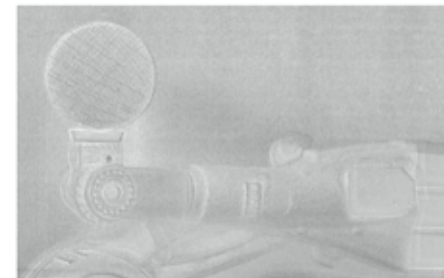
(f)  $\lambda_6 = 14$



(g)  $\lambda_7 = 11$



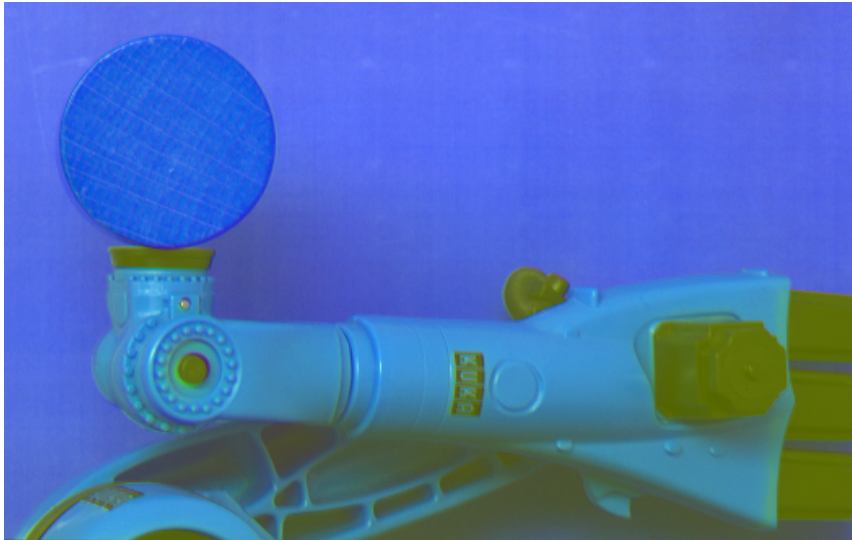
(h)  $\lambda_8 = 8$



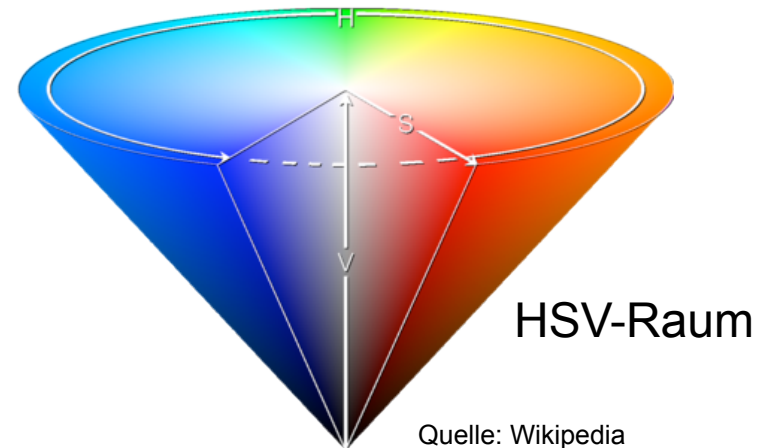
(i)  $\lambda_9 = 3$

Komponenten der Karhunen-Loève-Transformierten mit Eigenwerten  $\lambda_i$  ■

## Beispiel 8.38: Fusion multispektraler Bilder



- Die ersten 3 KLT-Komponenten
- als RGB-Bild interpretiert (o. li.)
  - als HSV-Bild interpretiert (u. li.)

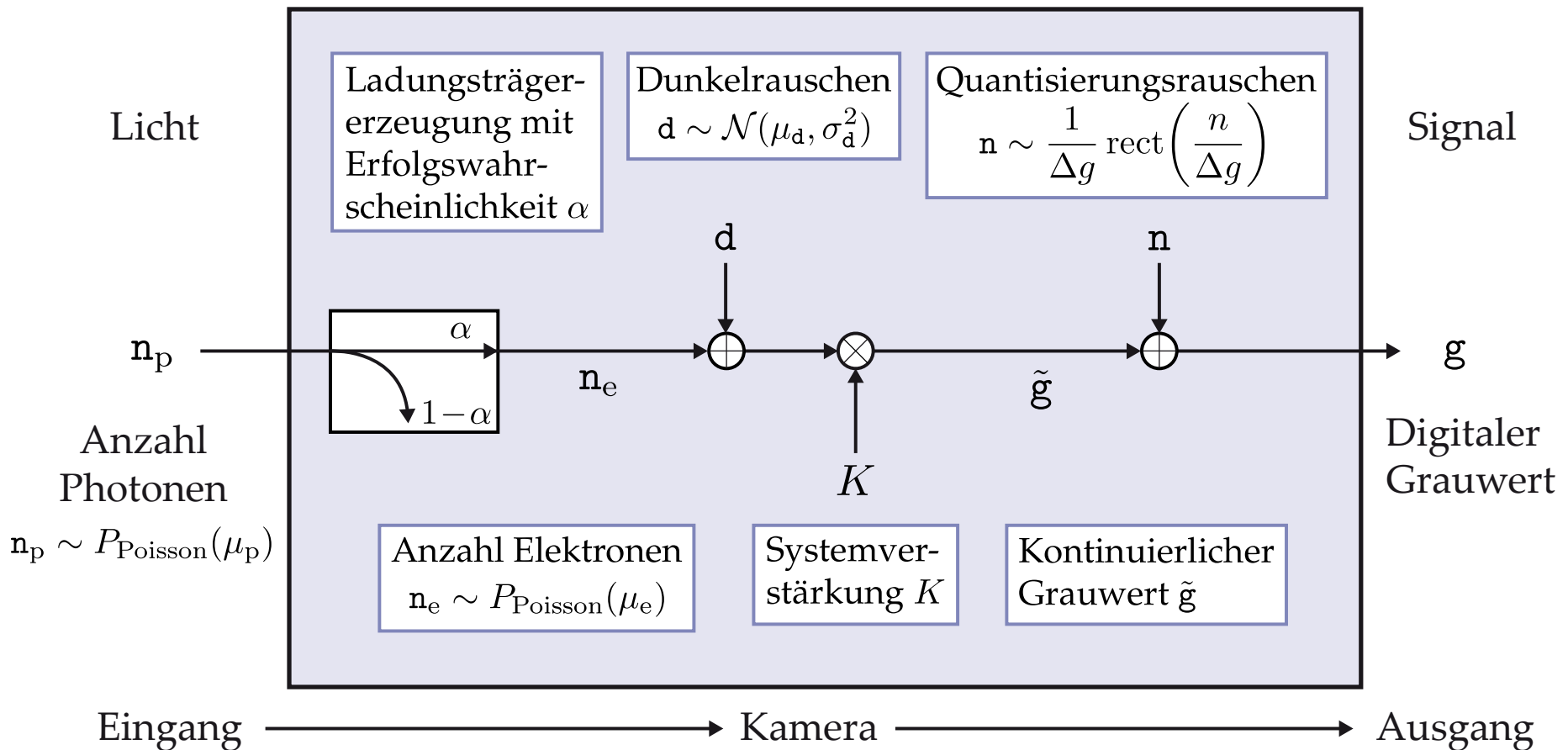


Quelle: Wikipedia

# 8.8 Rauschen digitaler Bildsensoren

## Systemmodell für eine digitale Kamera nach EMVA 1288

- lineares Modell, welches die physikalische Eingangsgröße **Licht** mit der Ausgangsgröße **digitaler Grauwert**  $g$  verknüpft



### Elemente des Modells

- Anzahl der eingehenden **Photonen**  $n_p$  wird als Poisson-verteilte Zufallsvariable mit  $E\{n_p\} = \mu_p$  und  $\text{Var}\{n_p\} = \mu_p$  modelliert
- Mit Wahrscheinlichkeit  $\alpha$  (**Quantenwirkungsgrad**) erzeugt ein Photon ein Elektron; Zahl der Elektronen ist ebenfalls Poisson-verteilt
- Das additive **Dunkelrauschen**  $d$  wird als normalverteilt mit  $E\{d\} = \mu_d$  und  $\text{Var}\{d\} = \sigma_d^2$  angenommen; diese Größe fasst alle Rauscheinflüsse der Elektronik außer dem Quantisierungsrauschen zusammen
- Die Proportionalität zwischen  $n_e + d$  und dem kontinuierlichen Grauwert  $\tilde{g}$  wird mit der **Systemverstärkung**  $K$  beschrieben
- Der Einfluss der äquidistanten Quantisierung wird als additives, gleichverteiltes **Quantisierungsrauschen** mit  $E\{n\} = 0$  und  $\text{Var}\{n\} = (\Delta g)^2/12$  modelliert (vgl. Vorlesung Messtechnik)
- Das lineare Modell verliert für hohe  $\mu_p$  durch Sättigungseffekte bei realen Kameras ihre Gültigkeit